



**KAUNO TECHNOLOGIJOS UNIVERSITETAS**  
**FUNDAMENTALIŲJŲ MOKSLŲ FAKULTETAS**

**TAIKOMOSIOS MATEMATIKOS KATEDRA**

**Paulius Černiauskas**

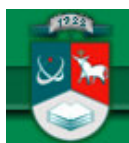
**Poslinkių dinamikos panaudojimo  
fraktalinių vaizdų sintezės procedūrose  
analizė**

Magistro darbas

**Vadovas**

**prof. dr. J. Valantinas**

**KAUNAS, 2007**



**KAUNO TECHNOLOGIJOS UNIVERSITETAS**  
**FUNDAMENTALIŲJŲ MOKSLŲ FAKULTETAS**  
**TAIKOMOSIOS MATEMATIKOS KATEDRA**

**TVIRTINU**

**Katedros vedėjas**

**prof. dr. J.Rimas**

**2007 05 24**

**Poslinkių dinamikos panaudojimo  
fraktalinių vaizdų sintezės procedūrose  
analizė**

Taikomosios matematikos magistro baigiamasis darbas

**Vadovas**

**prof. dr. J. Valantinas**

**2007 05 24**

**Recenzentas**

**doc. dr. S. Maciulevičius**

**2007 05 24**

**Atliko**

**FMM 1/2 gr. stud.**

**P. Černiauskas**

**2007 05 24**

**KAUNAS, 2007**

**Paulius Černiauskas. Analysis of the application of shift dynamics to synthesizing fractal images: Master's Thesis in Applied Mathematics / supervisor prof. dr. J. Valantinas; Department of Applied Mathematics, Faculty of Fundamental Sciences, Kaunas University of Technology. – Kaunas, 2007. –37 p.**

## **Summary**

The contribution of this work is a new version of the escape time algorithm adapted for synthesizing fractal images, identified with attractors of iterated functions systems (IFS). The proposed synthesis algorithm is based on the use of shift dynamics, associated with one or another IFS. The strategy for the separation of extended domains of the inverse affine transformations, specified by IFS, is developed.

In the field of computerized real word image models (digital images) the fractal approach is of utmost importance, because it facilitates perception and understanding of the information content of an image. To say more, it provides us with a powerful means to catch sight of a fundamental real word image property generally known as self-similarity. Due to this property, the research and development of algorithms („fractal techniques“) to extract important fractal parameters from appropriate digital data has received significant attention in recent years.

In this work, the basic concepts and ideas that are needed to describe, state and solve the problem of synthesizing fractal images, identified with attractors of IFS, are introduced and explored. A new original approach (idea), leading to practical implementation of the shift dynamical system, associated with a particular IFS, is proposed (part 3). Some experimental results are given (Part 4).

# Turinys

Summary .....	3
Turinys .....	4
Paveikslukų turinys .....	5
Lentelių turinys .....	5
1. Įvadas .....	6
2. Iteruotųjų funkcijų sistemos, fraktalai, dinaminės poslinkių sistemos .....	7
2.1. Fraktalas – iteruotojų funkcijų sistemos (IFS) atraktorius .....	7
2.2. Fraktalų tipai .....	9
2.3. Fraktalinės dimensijos sąvoka .....	10
2.4. Su IFS susietos dinaminės poslinkių sistemos formavimo ypatumai .....	13
2.5. IFS atraktoriaus sintezės algoritmai .....	16
2.5.1. Determinuotasis algoritmas.....	16
2.5.2. Atsitiktinių iteracijų algoritmas.....	16
2.5.2. PL-algoritmas ir jo ribotumai.....	17
3. Poslinkių dinamikos panaudojimo fraktalinių vaizdų sintezės procedūrose efektyvumo tyrimas	19
3.1. IFS sudarančių afinių transformacijų veikimo zonų atskyrimas.....	19
3.1.1. Kriterijaus parinkimas.....	20
3.1.2. Zonų nustatymas.....	20
3.2. Sintezuojamo fraktalinio vaizdo tolygus spalvinis užpildymas.....	22
4. Eksperimentinis tyrimas.....	24
4.1 Trumpas programinio įrankio, su kuriuo bus atliekami eksperimentai, aprašymas.....	24
4.2. Afinių transformacijų veikimo zonų atskyrimo kriterijaus tyrimas.....	27
4.3. Sintezuojamo fraktalinio vaizdo tolygaus spalvinio užpildymo tyrimas.....	32
4.3. Sugeneruotų fraktalinių vaizdų (IFS atraktorių) palyginimas .....	34
Išvados.....	36
Literatūros sąrašas.....	37
Priedai .....	38

## Paveikslukų turinys

2.1 pav. IFS atraktorių (fraktalų) pavysdžiai:.....	8
2.2 pav. Mandelbroto ir Žulija aibės susiję su parametrizuota dinamine sistema $\{C; z^2-\lambda\}$ (centre—Mandelbroto aibė).....	9
2.3 pav. Van Kocho kreivė IFS $\{R^2; \omega_1, \omega_2, \omega_3, \omega_4\}$ atraktorius (fraktalas).....	11
2.4 pav. Sierpinskio trikampis.....	12
2.5 pav. Dinaminė poslinkių sistema $\{A;S\}$ , atitinkanti IFS $\{R^2; \omega_1, \omega_2, \omega_3\}$ ; IFS atraktorius – Sierpinskio trikampis.....	15
2.6 pav. PL-algoritmo interpretacija;.....	18
4. Eksperimentinis tyrimas.....	24
4.1 pav. Pagrindinis langas.....	24
4.2 pav. Pasirinkti IFS iš failo.....	25
4.3 pav. Atidaryti pasirinktą IFS failą.....	25
4.4 pav. Afinių transformacijų veikimo zonos.....	26
4.5 pav. IFS atraktorius.....	26
4.6 pav. Pirmosios IFS $\{R^2; \omega_1, \omega_2\}$ atraktorius, gautas atsižvelgiant į išskirtas veikimo zonas: ...	28
4.7 pav. Antrosios IFS $\{R^2; \omega_1, \omega_2\}$ atraktorius, gautas atsižvelgiant į išskirtas veikimo zonas: .....	29
4.8 pav. Trečiosios IFS $\{R^2; \omega_1, \omega_2, \omega_3, \omega_4\}$ atraktorius, gautas atsižvelgiant į išskirtas veikimo zonas:.....	30
4.9 pav. IFS atraktorius (be iteracijų skaičiaus korekcijos).....	32
4.10 pav. IFS atraktorius (su iteracijų skaičiaus korekcija).....	33
4.11 pav. Antrosios IFS atraktorius (be iteracijų skaičiaus korekcijos).....	33
4.12 pav. Antrosios IFS atraktorius (su iteracijų skaičiaus korekcija).....	34
4.13 pav. Sugeneruotų fraktalinių viazdų (IFS atraktorių) palyginimas.....	35

## Lentelių turinys

3.1 lentelė. Iteracijų skaičiaus korekcijų lentelė.....	23
4.1 lentelė. Pirmos IFS $\{R^2; \omega_1, \omega_2\}$ skaičiavimo laikinės sąnaudos.....	31
4.2 lentelė. Antros IFS $\{R^2; \omega_1, \omega_2\}$ skaičiavimo laikinės sąnaudos.....	31
4.3 lentelė. Trečios IFS $\{R^2; \omega_1, \omega_2, \omega_3, \omega_4\}$ skaičiavimo laikinės sąnaudos.....	32

## 1. Įvadas

Šiame darbe nagrinėjami fraktalų – iteruoujų funkcijų sistemų (IFS) atraktorių – sintezės algoritmai. Pagrindinis dėmesys skiriamas pabėgimo laiko (PL)-algoritmui. PL-algoritmas yra pakankamai universalus. Pagrindinės šio algoritmo panaudojimo sričitys – netiesinių dinaminių sistemų, veikiančių kompleksinėje plokštumoje, analizė, kompleksinių daugianarių šaknų pritraukimo baseinų vizualizavimas ir kt. Geometrinių fraktalų (IFS atraktorių) sintezei šis algoritmas iki šiol nebuvo naudojamas, nors tokia galimybė, kaip teorinis rezultatas, yra žinoma. Pagrindinė to priežastis – IFS sudarančių afinių transformacijų veikimo zonų atskyrimo kriterijaus nebuvimas. Tokio kriterijaus paieškai ir realizacijai darbe skiriamas didžiausias dėmesys. Rezultatas – nauja adaptyvi IFS sudarančių afinių transformacijų veikimo zonų atskyrimo procedūra. Lygėgrečiai spendžiama tolygaus spalvinio sintezuojamo (PL-algoritmo pagalba) fraktalinio vaizdo užpildymo problema. Pasiūlytas originalus sprendimas – problemiška orientuota iteracijų skaičiaus (sintezės metu) korekcija.

Darbe pristatomi ir preliminarūs su fraktalinių vaizdų (IFS atraktorių) sinteze susijusių eksperimentų rezultatai.

## 2. Iteruotųjų funkcijų sistemos, fraktalai, dinaminės poslinkių sistemos

### 2.1. Fraktalas – iteruotųjų funkcijų sistemos (IFS) atraktorius

Imkime metrinę erdvę  $(X, d)$  ir joje apibrėžtą transformaciją  $f: X \rightarrow X$ . Pastebėsime, jog  $f(S) = \{f(x) \mid x \in S\}$ , kai  $S \subset X$ . Be to, transformacija  $f$  yra apgręžiama, kai ji yra abipusiškai vienareikšmė ir  $f(X) = X$ . Šiuo atveju, galima apibrėžti atvirkštinę transformaciją  $f^{-1}: X \rightarrow X$  tokią, kad  $f^{-1}(y) = x$ , ir  $x \in X$  yra vienintelis taškas, kuriam  $f(x) = y$ .

Transformacijos  $f: X \rightarrow X$  iteracijomis pirmyn vadinamos transformacijos  $f^{0n}: X \rightarrow X$ , apibrėžiamos lygybėmis:

$$f^{00}(x) = x, f^{01}(x) = f(x), f^{0(n+1)}(x) = f(f^{0n}(x)), \text{ su visais } n = 0, 1, 2, \dots$$

Jeigu  $f$  yra apgręžiama, tai transformacijos  $f$  iteracijomis atgal vadinamos transformacijos  $f^{0(-m)}: X \rightarrow X$ , apibrėžiamos lygybėmis:

$$f^{0(-1)}(x) = f^{-1}(x), f^{0(-m)}(x) = (f^{0m})^{-1}(x), \text{ su visais } m = 1, 2, 3, \dots$$

Praktiniuose taikymuose, svarbiausia akcentuoti ryšį tarp transformacijas apibūdinančių parametrų ir jų poveikyje atsirandančių geometrinių pasikeitimų (ištempimų, poslinkių, lenkimų ir pan.) erdvėse. Svarbu ir tai, kaip transformacijos veikia ne atskirus erdvės  $X$  taškus, o jos poabičius.

Kalbant apie geometrinius fraktalus (IFS atraktorius) paprastai, imamos Euklido metrinės erdvės —  $(R, d)$ ,  $(R^2, d)$  arba  $(R^3, d)$  — ir jose veikiančios afiniosios transformacijos.

Bendru atveju, afinioji transformacija  $\omega: R^2 \rightarrow R^2$ , veikianti (tarkime, dvimatėje) Euklido erdvėje  $(R^2, d)$ , apibrėžiama lygybe  $\omega(x) = \omega(x_1, x_2) = (ax_1 + bx_2 + e, cx_1 + dx_2 + f)$ , su visais  $x = (x_1, x_2) \in R^2$ ; čia  $a, b, c, d, e, f$  yra realieji skaičiai (afiniosios transformacijos  $\omega$  parametrai). Afinosios transformacijos turi daug svarbių geometrinių ir algebrinių savybių. Jų pagalba galima realizuoti posūkio, atspindžio, panašumo, pražulniąsias ir kitas transformacijas Euklido erdvėje  $(R^2, d)$ , [8].

Jeigu su visais  $x, y \in R^2$  teisinga nelygybė  $d(\omega(x), \omega(y)) \leq s \cdot d(x, y)$ ,  $0 \leq s < 1$ , tai afinioji transformacija  $\omega: R^2 \rightarrow R^2$  vadinama suspaudžiančiąja, o skaičius  $s$  — afiniosios transformacijos suspaudimo koeficientu.

Imkime afiniųjų suspaudžiančiųjų transformacijų  $\omega_i: R^2 \rightarrow R^2$ ,  $i = 1, 2, \dots, N$ , rinkinį; atskirų afiniųjų transformacijų suspaudimo koeficientus pažymėkime  $s_i$ ,  $i = 1, 2, \dots, N$ . Tada, Euklido erdvė  $(R^2, d)$  su joje veikiančių suspaudžiančiųjų afiniųjų transformacijų rinkiniu vadinama

iteruotųjų funkcijų sistema, ir žymima — IFS $\{\mathbb{R}^2; \omega_1, \omega_2, \dots, \omega_N\}$ . IFS suspaudimo koeficientu laikomas skaičius  $s = \max\{s_1, s_2, \dots, s_N\}$ .

Apibrėžkime dar vieną metrinę erdvę  $(H(\mathbb{R}^2), h)$  tokiu būdu:  $H(\mathbb{R}^2)$  — visų netuščių uždarytųjų aibės  $\mathbb{R}^2$  poaibių aibė;  $h$  — metrika, nusakanti atstumą tarp bet kurių dviejų aibės  $H(\mathbb{R}^2)$  elementų (aibės  $\mathbb{R}^2$  poaibių), būtent:

$$h(A, B) = \max\{d(A, B), d(B, A)\};$$

kai  $d(A, B) = \max_{x \in A} \min_{y \in B} \{d(x, y)\}$  ir  $d(B, A) = \max_{y \in B} \min_{x \in A} \{d(x, y)\}$ .

Įvestoji erdvė dažnai vadinama fraktaline erdve. Perkelkime IFS sudarančias afiniąsias transformacijas į erdvę  $(H(\mathbb{R}^2), h)$ . Tada  $\omega_i: H(\mathbb{R}^2) \rightarrow H(\mathbb{R}^2)$ , apibrėžiama lygybe  $\omega_i(B) = \{\omega_i(y) | y \in B\}$  ( $\forall B \in H(\mathbb{R}^2)$ ), yra suspaudžiančioji transformacija erdvėje  $(H(\mathbb{R}^2), h)$ , ir jos suspaudimo koeficientas lygus  $s_i$  ( $i = \{1, 2, \dots, N\}$ ).

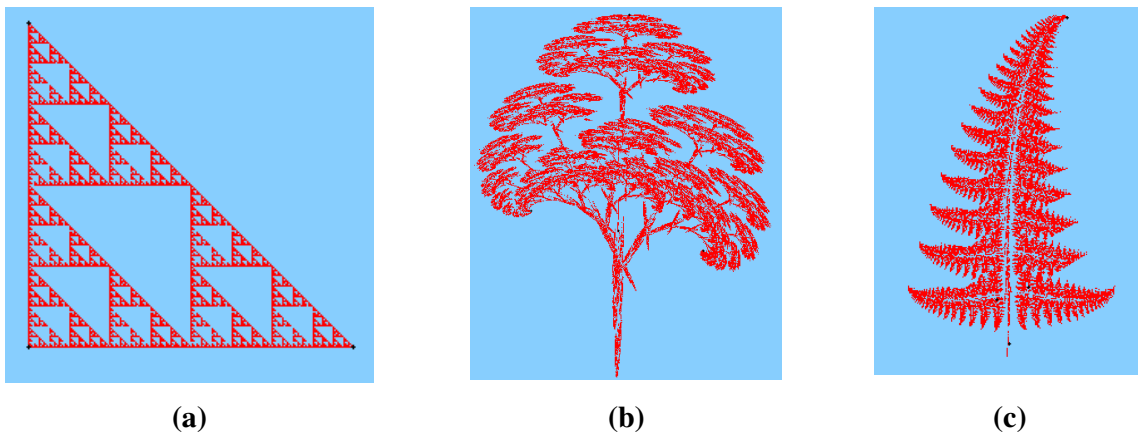
Pagaliau, apibrėžkime dar vieną transformaciją  $W: H(\mathbb{R}^2) \rightarrow H(\mathbb{R}^2)$  fraktalinėje erdvėje  $(H(\mathbb{R}^2), h)$ , tokiu būdu: čia  $W(B) = \omega_1(B) \cup \omega_2(B) \cup \dots \cup \omega_N(B) = \bigcup_{i=1}^N \omega_i(B)$ ,  $\forall B \in H(\mathbb{R}^2)$ .

Galima įsitikinti, jog pastaroji transformacija irgi yra suspaudžiančioji, t.y.

$h(W(B), W(C)) \leq s \cdot h(B, C)$ , su visais  $B, C \in H(\mathbb{R}^2)$ ; be to,  $s = \max\{s_1, s_2, \dots, s_N\}$ . Vienintelis

nejudamasis transformacijos  $W: H(\mathbb{R}^2) \rightarrow H(\mathbb{R}^2)$  taškas  $A$  ( $A \in H(\mathbb{R}^2)$ ) toks, kad  $A = W(A) = \bigcup_{i=1}^N \omega_i(A) = \lim_{n \rightarrow \infty} W^{0n}(B)$ ,  $\forall B \in H(\mathbb{R}^2)$ , vadinamas IFS atraktoriumi (arba fraktalu). Daug įvairių

iteruotųjų funkcijų sistemų bei jų atraktorių pavyzdžių galima rasti literatūroje [1] (2.1 pav.).



2.1 pav. IFS atraktorių (fraktalų) pavyzdžiai:

(a) IFS  $\{\mathbb{R}^2; \omega_1, \omega_2, \omega_3\}$  atraktorius – Sierpinskio trikampis; (b) IFS  $\{\mathbb{R}^2; \omega_1, \omega_2, \omega_3, \omega_4\}$  atraktorius – pušis; (c) IFS  $\{\mathbb{R}^2; \omega_1, \omega_2, \omega_3, \omega_4\}$  atraktorius – paparčio lapas

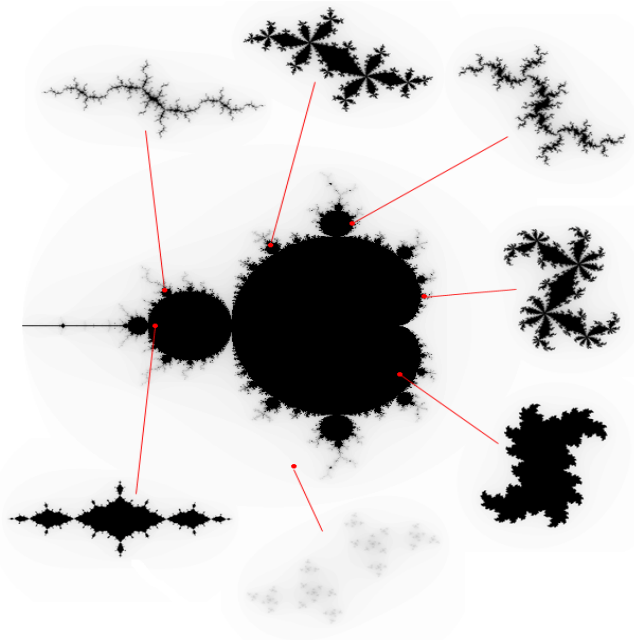


## 2.2. Fraktalų tipai

Fraktalinėje geometrijoje išskiriami šie fraktalų tipai — geometriniai fraktalai, algebriniai fraktalai, stochastiniai fraktalai.

Geometriniai fraktalai siejami su ankstyvuoju fraktalinės geometrijos (kaip tyrimo krypties) vystymosi periodu. Faktiškai, tai iteruotųjų funkcijų sistemų, charakterizuojamų įvairiais afininių transformacijų (veikiančių Euklido erdvėse) rinkiniais, atraktorių aibė. Šio tipo fraktalai yra vaizdžiausi ir, galima sakyti, geriausiai išanalizuoti.

Algebriniai fraktalai priklauso pačiai didžiausiai fraktalų grupei. Jie siejami su netiesinėmis dinaminėmis sistemomis, veikiančiomis kompleksinėje plokštumoje. Šio tipo fraktalų sintezei gana efektyviai panaudojamas anksčiau paminėtas PL-algoritmas. Vienas ryškiausių šio tipo fraktalų yra Mandelbroto aibė ir su ja susijusios Žulija aibės (2.2 pav.). Šios aibės gaunamos, tiriant netiesinės parametrizuotos sistemos  $\{C; f_\lambda(z) = z^2 - \lambda\}$ , dinamiką. Pastebėsime, jog algebriniai fraktalai nėra pilnai ištirti, jie vis dar slepia savyje daug paslapčių.



**2.2 pav. Mandelbroto ir Žulija aibės susiję su parametrizuota dinamine sistema  $\{C; z^2 - \lambda\}$   
(centre—Mandelbroto aibė)**

Stochastinius fraktalus, tam tikra prasme, galima būtų priskirti geometriniais fraktalams. Skirtumas tas, jog vietoj įprastinių iteruotųjų funkcijų sistemų imamos parametrizuotos sistemos. Iteracinio proceso metu keičiamos parametrų reikšmės, ir tai daroma atsitiktinai (atsitiktine tvarka). Rezultatas — gaunami fraktalai daugumoje atvejų yra labai panašūs į realaus pasaulio objektus

(„asimetriniai“ medžiai, karpytos pakrantės linijos ir pan.). Dvimačiai stochastiniai fraktalai naudojami, modeliuojant vietovės reljefą, jūros paviršių ir kt.

### 2.3. Fraktalinės dimensijos sąvoka

Skaičiai, charakterizuojantys fraktalus, paprastai, vadinami fraktalinėmis dimensijomis. Tai gana svarbios kiekybinės fraktalų charakteristikos. Jos leidžia įvertinti intuityvų pojūtį apie tai, kaip tirštai („tankiai“) fraktalas užpildo erdvę, kurios poaibis jis pats yra. Fraktalinė dimensija—tai objektyvi priemonė fraktalų palyginimui.

Istoriškai, svarbu apibrėžti Hausdorfo ir Bezicovičiaus matą bei dimensiją, ir kartu atskleisti su jų apskaičiavimu susijusius sunkumus, [8].

Imkime poaibį  $A \subset \mathbb{R}^n$ ; čia  $(\mathbb{R}^n, d)$  — $n$ -matė Euklido erdvė. Tegu  $|A| = \text{diam}(A) = \sup\{d(x,y) \mid x, y \in A\}$  žymi poaibio  $A$  diametrą.

Fiksuokime teigiamą skaičių  $\varepsilon > 0$ . Imkime skaičių poaibių  $A_i$  ( $|A_i| \leq \varepsilon$ ) aibę  $\{A_i\}$  ir tokią, kad ji padengtų poaibį  $A$ , t.y.  $A \subset \bigcup_{i=1}^{\infty} A_i$ ; rinkinys (aibė)  $\{A_i\}$  vadinamas poaibio  $A$   $\varepsilon$ -denginiu.

Toliau, tarkime, kad  $p > 0$ , ir apibrėžkime dydį  $H_\varepsilon^p(A)$  tokiu būdu:

$$H_\varepsilon^p(A) = \inf \left\{ \sum_{i=1}^{\infty} |A_i|^p \mid \{A_i\} \text{ yra poaibio } A \text{ } \varepsilon\text{-denginys} \right\}.$$

Faktiškai, tai minimizavimo uždavinys, kai stengiamasi minimizuoti dengiančiųjų aibių diametrų, pakeltų  $p$ —tuoju laipsniu, sumą (pagal visus įmanomus poaibio  $A$   $\varepsilon$ -denginius). Kita vertus, dydis  $H_\varepsilon^p(A)$ , kaip funkcija, yra nemažėjantis, kai  $\varepsilon$  artėja prie nulio. Pereidami prie ribos, kai  $\varepsilon \rightarrow 0$ , apibrėšime Hausdorfo ir Bezicovičiaus matą (poaibiui  $A$ )

$$H^p(A) = \lim_{\varepsilon \rightarrow 0} H_\varepsilon^p(A).$$

Dydžio  $H^p(A)$  priklausomybės nuo parametro  $p$  grafikas rodo, jog yra kritinė  $p$  reikšmė, kai  $H^p(A)$  „šoka“ nuo  $\infty$  prie 0 [8]. Tą kritinį tašką atitinkanti  $p$  reikšmė vadinama poaibio  $A$  Hausdorfo ir Bezicovičiaus dimensija žymėsime  $D_H(A)$ , t.y.

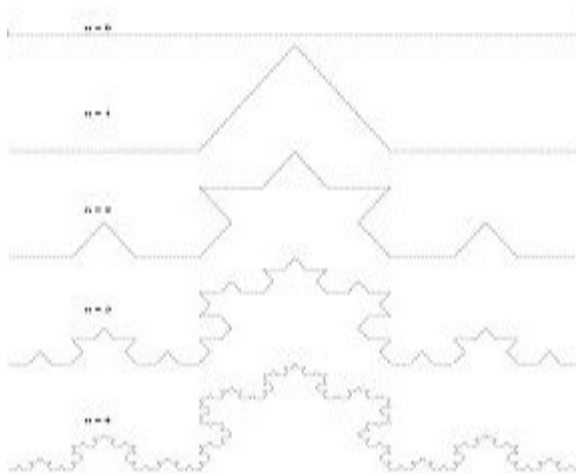
$$D_H(A) = \sup\{p \mid H^p(A) = \infty\} = \inf\{p \mid H^p(A) = 0\}.$$

Pastebėsime, jog šią dimensiją apskaičiuoti netgi „paprastoms“ aibėms (fraktalams) yra pakankamai sudėtinga. Kaip pavyzdį, panagrinėkime Kocho kreivę (2.3 pav.; [8]). Po  $k$  iteracijų kreivę sudaro  $4^k$  segmentai, kurių kiekvieno ilgis  $3^{-k}$ . Todėl kreivę galima padengti (tiksliai)  $4^k$  aibėmis, kurių diametrai lygūs  $3^{-k}$ . Tokiu būdu,

$$H_\varepsilon^p(A) = H_{3^{-k}}^p(A) = 4^k (3^{-k})^p.$$

Pertvarkykime šią išraišką taip:  $H_\varepsilon^p(A) = H_{3^{-k}}^p(A) = 3^{k(D-p)}$ ; čia  $D = \ln 4 / \ln 3$ . Pereidami prie ribos, kai dengiančiųjų aibių diametrai artėja prie nulio (t.y.  $k \rightarrow \infty$ ), gauname

$$H^p = \lim_{k \rightarrow \infty} H_{3^{-k}}^p = \begin{cases} \infty, & p < D \\ 1, & p = D \\ 0, & p > D \end{cases}.$$



### 2.3 pav. Van Kocho kreivė IFS $\{\mathbb{R}^2; \omega_1, \omega_2, \omega_3, \omega_4\}$ atraktorius (fraktalas)

Taigi, galima teigti, jog Van Kocho kreivės Hausdorfo ir Bezicovičiaus dimensija lygi  $D = \ln 4 / \ln 3 \cong 1.262$ . Vėliau, B. Mandelbrotas šią dimensiją pavadino fraktaline dimensija. Faktiškai, tai nauja erdvės (poaibių) matavimo priemonė. Daugelyje šaltinių, fraktalinės dimensijos sąvokos įvedimui naudojamas šiek tiek supaprastintas požiūris (interpretacija).

Imkime metrinę erdvę  $(\mathbb{R}^n, d)$ . Tegul  $A \in \mathcal{H}(\mathbb{R}^n)$ . Tarkime, kad  $\varepsilon > 0$  ir  $N(A, \varepsilon)$  žymi mažiausią uždarytųjų rutulių  $B(x, \varepsilon) = \{y \in \mathbb{R}^n \mid d(x, y) \leq \varepsilon\}$ , sudarančių baigtinį poaibio  $A$  denginį, skaičių, t.y.

$N(A, \varepsilon)$ —mažiausias sveikasis skaičius toks, kad  $A \subset \bigcup_{i=1}^{N(A, \varepsilon)} B(x_i, \varepsilon)$ ;

čia  $\{x_1, x_2, \dots, x_{N(A, \varepsilon)}\} \subset \mathbb{R}^n$ .

Fraktalinės dimensijos sąvoka įvedama, remiantis intuityvia idėja, jog aibė  $A$  ( $A \subset \mathbb{R}^n$ ) turi fraktalinę dimensiją  $D$ , jeigu  $N(A, \varepsilon) \approx C \varepsilon^{-D}$ ; čia:  $C$  — tam tikra konstanta; „ $\approx$ “ reiškia, jog  $\lim_{\varepsilon \rightarrow 0} (\ln f(\varepsilon) / \ln g(\varepsilon)) = 1$ , kai  $f(\varepsilon) \approx g(\varepsilon)$ . Dabar, išsprendę  $(N(A, \varepsilon) \approx C \varepsilon^{-D})$  „lygybę“ ( $D$  atžvilgiu), gauname

$$D \approx \frac{\ln N(A, \varepsilon) - \ln C}{\ln\left(\frac{1}{\varepsilon}\right)}.$$

Perėję prie ribos ( $\varepsilon \rightarrow 0$ ), turime:

$$D = \lim_{\varepsilon \rightarrow 0} \frac{\ln N(A, \varepsilon)}{\ln \left( \frac{1}{\varepsilon} \right)}.$$

Ši riba vadinama poaibio  $A$  ( $A \subset \mathbb{R}^n$ ) fraktaline dimensija ir žymima  $D(A) = D$ .

Žemiau pateikiame keletą svarbesnių teiginių, skirtų eksperimentiniam fraktalinės Euklido erdvės poaibių dimensijos nustatymui.

1 teorema. Tarkime, kad  $A \subset \mathbb{H}(\mathbb{R}^m)$ ; be to, erdvė  $\mathbb{R}^m$  padengta nesusikertančiais  $m$ —mačiais „kubiukais“ (dėžutėmis), kurių briaunos ilgis lygus  $1/2^n$ ; tegul  $N_n(A)$  žymi „kubiukų“, persidengiančių su poaibiu  $A$ , skaičių. Tada skaičius

$$D = \lim_{n \rightarrow \infty} \left\{ \frac{\ln N_n(A)}{\ln(2^n)} \right\}$$

vadinamas poaibio  $A$  fraktaline dimensija.

Būtent pastarasis teiginys sudaro (dažniausiai) pagrindą eksperimentiniam realaus pasaulio (fraktalinio) objekto dimensijos nustatymui (dimensijos įverčio gavimui).

Kaip pavyzdį, panagrinėkime fraktalą  $A$  (2.4 pav. Sierpinskio trikampis). Nesunku pastebėti, jog:

$$N_1(A) = 3, \text{ kai } n = 1;$$

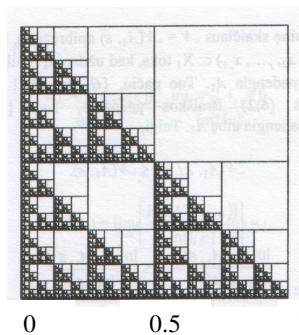
$$N_2(A) = 9, \text{ kai } n = 2, \text{ t.y. kai } \varepsilon_2 = \frac{1}{2^2} = \frac{1}{4};$$

$$N_3(A) = 3^3 = 27, \text{ kai } n = 3 \text{ ir t.t.}$$

$$\text{Pagaliau, } N_n(A) = 3^n, \text{ kai } \varepsilon_n = \frac{1}{2^n}$$

Taigi, fraktalinė Sierpinskio trikampio dimensija lygi:

$$D = \lim_{n \rightarrow \infty} \frac{\ln 3^n}{\ln 2^n} = \frac{\ln 3}{\ln 2} \cong 1.585.$$



2.4 pav. Sierpinskio trikampis

2 teorema. Tarkime, kad  $A \subset \mathbb{R}^n$  sutampa su visiškai nejungios IFS  $\{\mathbb{R}^2; \omega_1, \omega_2, \dots, \omega_N\}$ , sudarytos iš afiniųjų panašumo transformacijų, atraktoriumi. Tada, poaibio  $A$  fraktalinė dimensija  $D$  yra lygties

$$\sum_{i=1}^N s_i^D = 1$$

sprendinys; čia  $s_i$  yra  $i$ —tosios afinėsios transformacijos suspaudimo koeficientas,  $(i=1, 2, \dots, N)$ .

Pavydžiui, Kocho kreivės atveju (2.3 pav.), pastarojo teiginio taikymas leidžia gauti tokį rezultatą – kadangi Kocho kreivė yra IFS  $\{\mathbb{R}^2; \omega_1, \omega_2, \omega_3, \omega_4\}$  atraktorius, be to,  $s_i=1/3$ , su

$$\text{visais } i=1, 2, 3, 4, \text{ tai } \sum_{i=1}^4 \left(\frac{1}{3}\right)^D = 1; \text{ iš čia } 4 \cdot \left(\frac{1}{3}\right)^D = 1; \left(\frac{1}{3}\right)^D = \frac{1}{4}; D = \frac{\ln 4}{\ln 3} \cong 1.262$$

3 teorema. Tarkime, kad  $D(A)$  ir  $D_H(A)$  žymi kokio nors apręžto poaibio  $A \subset \mathbb{R}^n$  atitinkamai fraktalinę bei Hausdorfo ir Bezicovičiaus dimensijas. Tada

$$0 \leq D_H(A) \leq D(A) \leq n.$$

Galima būtų teigti, jog  $D_H(A)$  „šiek tiek subtiliau“ charakterizuoja poaibį  $A$ , negu  $D(A)$ . Yra ir daugiau požiūrių bei interpretacijų, pateikiant fraktalines Euklido erdvės poaibių dimensijas. Tai — koreliacijos dimensija, informacijos dimensija, Liapunovo dimensija ir panašiai. Plačiau apie jas čia nekalbėsime.

Pagaliam, pastebėsime, kad fraktalinę dimensiją galima panaudoti kaip kriterijų, palyginant įvairius geometrinių fraktalų (IFS atraktorių) sintezės algoritmus, siekiant įvertinti sintezės algoritmų „darbo“ kokybę.

## 2.4. Su IFS susietos dinaminės poslinkių sistemos formavimo ypatumai

Kaip jau buvo minėta, dinamine sistema vadinama transformacija  $f: X \rightarrow X$  metrinėje erdvėje  $(X, d)$ ; paprastai, dinaminė sistema žymima  $\{X; f\}$ ; be to, seka  $\{f^{0n}(x)\}_{n=0}^{\infty}$  vadinama taško  $x \in X$  orbita.

Dinaminės sistemos yra įdomesnės tais atvejais, kai transformacijos  $f$  nėra suspaudžiantieji atvaizdžiai, kaip rodo patirtis, tada atskirų taškų orbitos būna geometriškai gana sudėtingos.

Imkime dinaminę sistemą  $\{X; f\}$ . Taškas  $x \in X$  vadinamas periodiniu  $f$  tašku, jeigu yra skaičius  $n \in \{1, 2, \dots\}$  toks, kad  $f^{0n}(x) = x$ . Skaičius  $n$  vadinamas taško  $x$  periodu. Mažiausias iš tokių skaičių vadinamas minimaliu periodinio taško  $x$  periodu.

Periodinio  $f$  taško orbita vadinama  $f$  ciklu;  $f$  ciklo periodas yra taško cikle periodas; minimalus  $f$  ciklo periodas – tai skirtingų ciklo taškų skaičius.

Grįžkime prie dinaminės sistemos  $\{X;f\}$ . Tarkime, kad  $x_f \in X$  yra nejudamasis  $f$  taškas, t.y.  $f(x_f)=x_f$ . Taškas  $x_f$  vadinamas pritraukiančiuoju nejudamuoju  $f$  tašku, jeigu yra teigiamas skaičius  $\varepsilon > 0$  toks, kad  $f: B(x_f; \varepsilon) \rightarrow B(x_f; \varepsilon)$ , t.y. rutulys  $B$  yra atvaizduojamas į save; be to,  $f$  yra suspaudžiantysis atvaizdis aibėje  $B(x_f; \varepsilon)$  (beje,  $B(x_f; \varepsilon) = \{y \in X \mid d(x_f; y) \leq \varepsilon\}$ ).

Taškas  $x_f$  vadinamas atstumiančiuoju  $f$  tašku, jeigu yra skaičiai  $\varepsilon > 0$  ir  $c > 1$  tokie, kad  $d(f(x_f), f(y)) \geq c \cdot d(x_f, y)$ , su visais  $y \in B(x_f, \varepsilon)$ .

Periodinis  $f$  taškas (periodas  $n$ ) yra pritraukiantysis, jeigu jis yra transformacijos  $f^{0n}$  pritraukiantysis nejudamasis taškas. Periodo  $n$  ciklas yra pritraukiantysis  $f$  ciklas, jeigu į ciklą įeina periodinis (periodas  $n$ ) pritraukiantysis  $f$  taškas. Periodinis  $f$  taškas (periodas  $n$ ) yra atstumiantysis, jeigu jis yra transformacijos  $f^{0n}$  atstumiantysis nejudamasis taškas. Periodo  $n$  ciklas yra atstumiantysis  $f$  ciklas, jeigu į jį įeina periodinis (periodas  $n$ ) atstumiantysis  $f$  taškas.

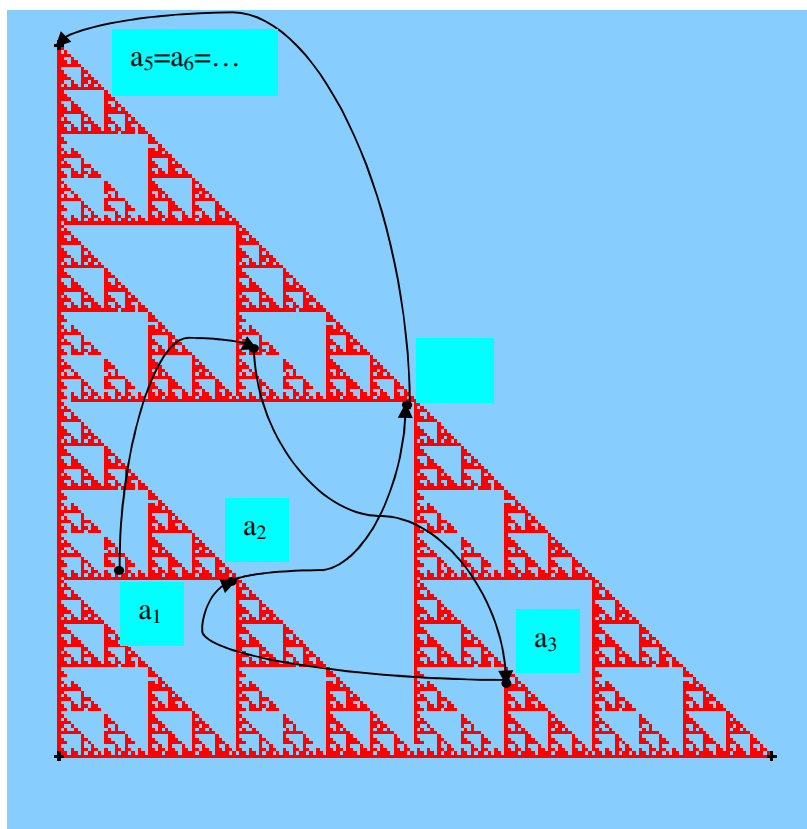
Tarkime, kad  $\{X; \omega_1, \omega_2, \dots, \omega_n\}$  yra IFS. Tada  $\{H(X), W\}$  yra dinaminė sistema; čia  $W(B) = \bigcup_{n=1}^N w_n(B)$ ,  $\forall B \in H(X)$  (2.1 skyrelis). Tokio tipo sistemos kartais vadinamos aibes veikiančiomis dinaminėmis sistemomis.

Dinaminės sistemos sąvoką susiejame su iteruotųjų funkcijų sistemomis, veikiančiomis metrinėse erdvėse.

Jei IFS  $\{X; \omega_1, \omega_2, \dots, \omega_n\}$  atraktorius yra aibė  $A$  ir IFS yra visiškai neįungi (t.y.  $\omega_i(A) \cap \omega_j(A) = \emptyset$ , kai  $i \neq j$ ) tai transformacija  $\omega_n: A \rightarrow A$ ,  $n \in \{1, 2, \dots, N\}$ , yra abipusiškai vienareikšmė. Šią IFS atitinkanti poslinkio transformacija  $S: A \rightarrow A$  apibrėžiama taip:

$S(a) = \omega_n^{-1}(a)$ ,  $\forall a \in \omega_n(A)$ ;  $n \in \{1, 2, \dots, N\}$ . Dinaminė sistema  $\{A; S\}$  vadinama dinamine poslinkių sistema, atitinkančia duotąją IFS.

Dinaminės poslinkių sistemos  $\{A; S\}$ , atitinkančios iteruotųjų funkcijų sistema IFS  $\left\{ R^2; 0.47 \begin{pmatrix} x_1 \\ x_2 \end{pmatrix}, 0.47 \begin{pmatrix} x_1 \\ x_2 \end{pmatrix} + \begin{pmatrix} 1 \\ 0 \end{pmatrix}, 0.47 \begin{pmatrix} x_1 \\ x_2 \end{pmatrix} + \begin{pmatrix} 0 \\ 1 \end{pmatrix} \right\}$ , kurios atraktorius yra Sierpinskio trikampis, veikimo rezultatas (taško  $a_0$  orbita) parodytas 2.5 pav.



**2.5 pav. Dinaminė poslinkių sistema  $\{A;S\}$ , atitinkanti IFS  $\{\mathbb{R}^2; \omega_1, \omega_2, \omega_3\}$ ; IFS atraktorius – Sierpinskio trikampis**

Matome, jog taško  $a_0$  orbita baigiasi nejudamajame taške. Taškas  $a_4 \in A$  yra atstumiantysis nejudamasis dinaminės poslinkių sistemos taškas.

Imkime IFS  $\{X; \omega_1, \omega_2, \dots\}$ , kurios atraktorius yra aibė  $A$ . Tarkime, kad abi transformacijos,  $\omega_1: A \rightarrow A$  ir  $\omega_2: A \rightarrow A$ , yra apgręžiamos. Aibės  $A$  taškų seka  $\{x_n\}_{n=0}^{\infty}$  vadinama dinaminės poslinkių sistemos, atitinkančios duotąją IFS, orbita, jeigu

$$x_{n+1} = \begin{cases} \omega_1^{-1}(x_n), & \text{kai } x_n \in \omega_1(A) \text{ ir } x_n \notin \omega_1(A) \cap \omega_2(A), \\ \omega_2^{-1}(x_n), & \text{kai } x_n \in \omega_2(A) \text{ ir } x_n \notin \omega_1(A) \cap \omega_2(A), \\ \text{bet kuris aibei } \{\omega_1^{-1}(x_n), \omega_2^{-1}(x_n)\} \text{ taškas,} & \text{kai } x_n \in \omega_1(A) \cap \omega_2(A) \end{cases},$$

su visais  $n \in \{1, 2, \dots\}$ ; žymėsime  $x_{n+1} = S(x_n)$ ;  $S: A \rightarrow A$ . Dinaminė poslinkių sistemą  $\{A; S\}$  vadinsime dinamine atsitiktinių poslinkių sistema, atitinkančia IFS.

## 2.5. IFS atraktoriaus sintezės algoritmai

Yra žinomi ir plačiai praktikoje taikomi keli fraktalinių vaizdų (IFS atraktorių) sintezės (generavimo) algoritmai. Tai — determinuotasis algoritmas, atsitiktinių iteracijų algoritmas bei PL-algoritmas. Trumpai pakomentuosime šiuos algoritmus.

### 2.5.1. Determinuotasis algoritmas

Determinuotojo fraktalų (IFS atraktorių) generavimo algoritmo „veikimas“ tiesiogiai remiasi IFS atraktoriaus apibrėžimu.

Tarkime, kad  $\{\mathbb{R}^2; \omega_1, \omega_2, \dots, \omega_N\}$  yra iteruotųjų funkcijų sistema (IFS); čia  $\omega_i$  ( $i=1, 2, \dots, N$ ) yra suspaudžiančiosios afiniosios transformacijos. Parenkame (pradinę) uždaroją aibę  $A_0 \in \mathcal{H}(\mathbb{R}^2)$  ir nuosekliai formuojame aibių seką  $\{A_n\}$ , būtent:

$$A_n = W^{0n}(A_0) = W(A_{n-1}) = \bigcup_{i=1}^N \omega_i(A_{n-1}), \text{ su visais } n=1, 2, \dots$$

Įrodoma, jog tai (Koši) seka, kuri konverguoja į IFS atraktorių  $A$ . Kai  $n$  yra pakankamai didelis skaičius, aibė  $A_n$  vizualiai yra „artima“ (metrikos  $h$  prasme, tuo pačiu, ir vizualiai) aibei (fraktalui, IFS atraktoriui)  $A$ .

Pastebėsime, jog visiškai nesvarbu, kokia yra pradinė uždaroji aibė  $A_0$ . Iteracinės procedūros rezultatas yra vienas ir tas pats — IFS atraktorius  $A$ . Kitaip tariant, aibė  $A$  pilnai nusakoma afiniųjų transformacijų  $\omega_i$ , ( $i=1, 2, \dots, N$ ), veikiančių fraktalinėje erdvėje  $(\mathcal{H}(\mathbb{R}^2), h)$ , išraiškomis [8].

### 2.5.2. Atsitiktinių iteracijų algoritmas

Vėlgi, tarkime, kad  $\{\mathbb{R}^2; \omega_1, \omega_2, \dots, \omega_N\}$  yra iteruotųjų funkcijų sistema. Kiekvienai suspaudžiančiajai afiniajai transformacijai  $\omega_i$  ( $i=1, 2, \dots, N$ ) yra priskiriamas teigiamas skaičius (tikimybė)  $p_i$  taip, kad  $p_1 + p_2 + \dots + p_N = 1$ . Jeigu  $\omega_i = \omega_i(x) = \omega_i(x_1, x_2) = (a_i x_1 + b_i x_2 + e_i, c_i x_1 + d_i x_2 + f_i)$  ( $i=1, 2, \dots, N$ ), tai apytikslės tikimybių  $p_i$  reikšmės, paprastai, randamos iš formulės

$$p_i \cong \frac{|a_i d_i - b_i c_i|}{\sum_{j=1}^N |a_j d_j - b_j c_j|};$$

jeigu su kuria nors reikšme  $i$ ,  $a_i d_i - b_i c_i = 0$ , tai  $p_i$  prilyginama pakankamai mažam teigiamam skaičiui (tarkim,  $p_i = 0,001$ ).



Parenkamas pradinis taškas  $x_0$  ( $x_0 \in \mathbb{R}^2$ ). Konstruojama erdvės  $\mathbb{R}^2$  taškų seka  $\{x_n\}_{n=0}^{\infty}$ ; čia  $x_n \in \{\omega_1(x_{n-1}), \omega_2(x_{n-1}), \dots, \omega_N(x_{n-1})\}$ , su visais  $n=1, 2, \dots$ , ir įvykio, jog  $x_n$  įgys reikšmę  $\omega_i(x_{n-1})$ , tikimybė yra lygi  $p_i$ , t. y.  $P\{x_n = \omega_i(x_{n-1})\} = p_i, i \in \{1, 2, \dots, N\}$ .

Šis atsitiktinių iteracijų algoritmas yra gana greitas, lengvai realizuojamas ir efektyvus. Atsitiktinių iteracijų algoritmo „veikimas“ yra grindžiamas fraktalo (IFS atraktoriaus) taškams būdinga chaotiška judesio dinamika, [1].

## 2.5.2. PL-algoritmas ir jo ribotumai

PL(pabėgimo laiko)-algoritmas yra pakankamai universalus. Iš pagrindinių šio algoritmo panaudojimo sričių galima paminėti šias: netiesinių dinaminių sistemų, veikiančių kompleksinėje plokštumoje, analizė, parametrizuotų dinaminių sistemų tyrimas, kompleksinių daugianarių šaknų pritraukimo baseinų vizualizavimas ir pan. Geometrinių fraktalų (IFS atraktorių) sintezei šis algoritmas iki šiol nebuvo naudojamas, nors tokia galimybė, kaip teorinis rezultatas, yra žinoma. Praktinė algoritmo realizacija vis dar kelia tam tikrų problemų.

Pateikiame pačią PL-algoritmo, skirto geometriniais fraktalams (IFS atraktoriaus) generuoti, idėją. Tarkime, kad  $IFS\{\mathbb{R}^2; \omega_1, \omega_2, \dots, \omega_N\}$  atraktorius yra aibė  $A$  (beje,  $A = \omega_1(A) \cup \omega_2(A) \cup \dots \cup \omega_N(A)$ ). Tarkime, taipogi, jog visos afiniosios transformacijos  $\omega_i (i=1, 2, \dots, N)$  yra apgrėžiamosios. Šiai IFS konstruojama dinaminė poslinkių sistema  $\{A; S\}$ , kur poslinkio transformacija  $S: A \rightarrow A$  apibrėžiama (kiekvienam taškui  $a \in A$ ) taip:  $S(a) = \omega_i^{-1}(a)$ , jeigu  $a \in \omega_i(A)$

( $i \in \{1, 2, \dots, N\}$ ) ir  $a \notin \bigcup_{j=1(j \neq i)}^N \omega_j(A)$  (sakoma, jog taškas  $a$  yra transformacijos  $\omega_i^{-1}$  veikimo zonoje);

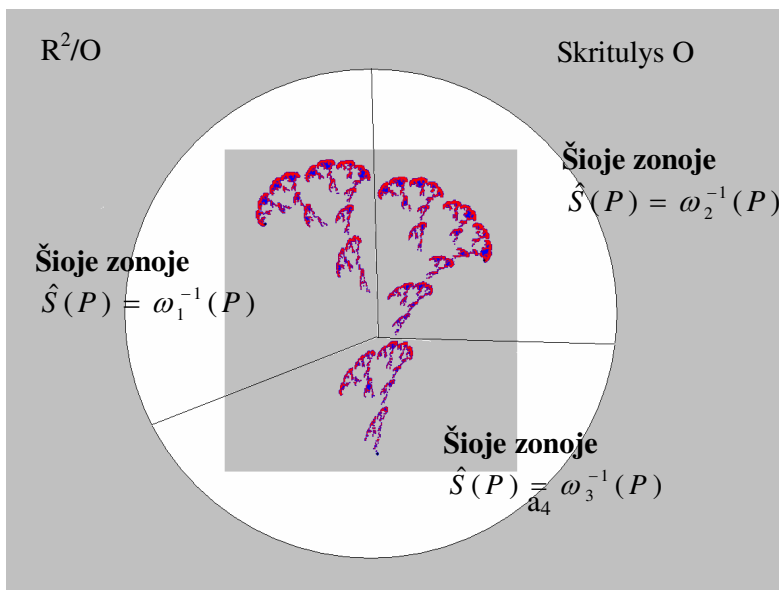
$S(a) = \omega_i^{-1}(a)$ , jeigu  $a \in \bigcap_{s=1}^r \omega_{i_s}(A)$ ; čia  $t \in \{i_1, i_2, \dots, i_r\} \subset \{1, 2, \dots, N\}$  (sakoma, jog taškas  $a$  yra bet

kurios iš transformacijų  $\omega_t^{-1}$  ( $t \in \{i_1, i_2, \dots, i_r\}$ ) veikimo zonoje).

Duotąjį IFS atitinkanti dinaminė poslinkių sistema  $\{A; S\}$  „praplečiama“ į visą erdvę  $\mathbb{R}^2$ , t. y. konstruojama nauja dinaminė sistema  $\{\mathbb{R}^2; \hat{S}\}$ . Naujoji poslinkio transformacija  $\hat{S}: \mathbb{R}^2 \rightarrow \mathbb{R}^2$  apibrėžiama lygybe  $\hat{S}(x) = \omega_i^{-1}(x)$ , kai taškas  $x = (x_1, x_2) \in \mathbb{R}^2$  patenka į  $i$ -tosios afiniosios transformacijos  $\omega_i^{-1}$  ( $i \in \{1, 2, \dots, N\}$ ) veikimo zoną. Aišku, kad  $\hat{S}$  sutampa su  $S$ , kai taškas  $x \in A$ .

Toliau, tarkime, kad sintezuojamas (ieškomas) IFS atraktorius  $A$  patenka į stačiakampį  $B$ , t. y.  $A \subset B \subset \mathbb{R}^2$ . Kiekvienam stačiakampio  $B$  taškui  $x$  konstruojama orbita  $\{\hat{S}^{0n}(x)\}_{n=1}^{\mathfrak{J}}$ ; čia:  $\hat{S}^{0n}(x) = \hat{S}(\hat{S}^{0n-1}(x))$ ,  $n=1, 2, \dots$ ;  $\mathfrak{J}$  - iš anksto apibrėžtas iteracijų skaičius. Fiksuokime skritulį su centru

stačiakampio įstrižainių susikirtimo taške (pažymėkime  $O$ ) ir spinduliu  $R$ ; skritulys talpina savyje stačiakampį  $B$  (2.6 pav.).



**2.6 pav. PL-algoritmo interpretacija;  
stačiakampyje pavaizduotas IFS $\{R^2; \omega_1, \omega_2, \omega_3\}$  atraktorius;  
tiesėmis atskirtos afinių transformacijų veikimo zonos**

Jeigu euklidinis atstumas  $d(\hat{S}^{03}(x), O) \leq R$ , t. y. po  $\mathcal{T}$  iteracijų taško  $x \in B$  orbita nepalieka skritulio, daroma išvada, jog taškas  $x$  priklauso IFS atraktoriui  $A$  ( $x \in A$ ); priešingu atveju ( $d(\hat{S}^{03}(x), O) > R$ ),  $x \notin A$ .

PL-algoritmo „veikimas“ remiasi tuo, jog IFS atraktorius (aibė  $A$ ) yra transformacijos  $\hat{S}: H(R^2) \rightarrow H(R^2)$  atstumiantysis nejudamasis taškas. Kitaip tariant, taškų, esančių arčiau atraktoriaus  $A$ , orbitos ilgiau „užsibūna“ skritulyje, negu orbitos taškų, labiau nutolusių nuo atraktoriaus.

Tarkime, IFS  $\{R^2; \omega_1, \omega_2, \dots, \omega_n\}$  atraktorius yra aibė  $A \in H(R^2)$ . IFS nusakančių afinių transformacijų  $\omega_i$  ( $i \in \{1, 2, \dots, N\}$ ) suspaudimo taške  $P \in R^2$  (kryptimi  $\overrightarrow{PM_i}$ ;  $M_i$  – nejudamasis transformacijos  $\omega_i$  taškas) koeficientai  $s_i(P)$  apibrėžiami formule

$$s_i(P) = \frac{d(\omega_i(P), M_i)}{d(P, M_i)}.$$

Nagrinėkime  $\{R^2; \hat{S}\}$  - dinaminės poslinkių sistemos  $\{A; S\}$  plėtinį į erdvę  $R^2$ . Transformacija  $\hat{S}$  perveda bet kokį tašką  $P \in B \subset R^2$  į naują tašką  $P_i$ , t. y.  $P_i = \hat{S}(P) = \omega_i^{-1}(P)$ ,  $i \in \{1, 2, \dots, N\}$ . Teoriškai, transformacijų  $\omega_i^{-1}$  ( $i \in \{1, 2, \dots, N\}$ ) veikimo zonų atskyrimui galime naudoti kriterijų:

$$\min_{i \in \{1, 2, \dots, N\}} \left\{ \frac{d(P, \omega_i(A))}{s_i(P)} \right\} = \frac{d(P, \omega_i(A))}{s_i(P)}$$

(indeksas  $i^\circ$  - rodo, kokios transformacijos veikimo zonai priklauso taškas  $P$ ). Deja, praktiškai šiuo kriterijumi pasinaudoti negalime, nes nežinome nei atraktoriaus  $A$ , nei jo kopijų  $\omega_i(A)$ ,  $i=1,2,\dots,N$ .

Pabandysime formalizuoti PL-algoritmą. Iteruotųjų funkcijų sistemai  $\text{IFS}\{\mathbb{R}^2; \omega_1, \omega_2, \dots, \omega_n\}$ , konstruokime sutvarkytą indeksų rinkinių aibę  $I(\mathfrak{I}) = \{(i_1, i_2, \dots, i_{\mathfrak{I}}) \mid i_k \in \{1, 2, \dots, N\}, k=1, 2, \dots, \mathfrak{I}\}$ .

Visų galimų aibės  $I(\mathfrak{I})$  elementų skaičius yra  $N^{\mathfrak{I}}$ . Konkrečiam indeksų rinkiniui  $(i_1, i_2, \dots, i_{\mathfrak{I}})$  ir bet kokiam taškui  $P \in B \subset \mathbb{R}^2$  galima sudaryti  $\mathfrak{I}$  taškų orbitą, būtent  $\{P_{i_1}, P_{i_1, i_2}, \dots, P_{i_1, i_2, \dots, i_{\mathfrak{I}}}\}$ , kur  $P_{i_1, i_2, \dots, i_k} = (\omega_{i_k}^{-1} \circ \omega_{i_{k-1}}^{-1} \circ \dots \circ \omega_{i_1}^{-1})(P)$ , su visais  $k \in \{1, 2, \dots, \mathfrak{I}\}$ .

Teisingai parinkę skritulio spindulį  $R$  ir iteracijų skaičių  $\mathfrak{I}$ , galime teigti, kad taškas  $P (P \in \mathbb{R}^2)$  priklauso atraktoriui tada ir tik tada, kai

$$\min\{d(P_{i_1, i_2, \dots, i_{\mathfrak{I}}}, A) \mid (i_1, i_2, \dots, i_{\mathfrak{I}}) \in I(\mathfrak{I})\} = d(P_{i_1^\circ, i_2^\circ, \dots, i_{\mathfrak{I}}^\circ}, A) \leq R; \quad (1.1)$$

priešingu atveju ( $d(P_{i_1^\circ, i_2^\circ, \dots, i_{\mathfrak{I}}^\circ}, A) > R$ ),  $P \notin A$ . Akivaizdu, kad  $(i_1^\circ, i_2^\circ, \dots, i_{\mathfrak{I}}^\circ) \in I(\mathfrak{I})$  nurodo atvejį, kada afiniųjų transformacijų veikimo zonos tiksliai fiksuojamos visiems orbitos  $\{\hat{S}^{0n}(P)\}_{n=1}^{\mathfrak{I}}$  taškams.

Kadangi  $\dim(A) \ll R$ , tai (1.1) sąlyga gali būti pertvarkyta taip

$$(P \in A) \Leftrightarrow (\min\{d(P_{i_1, i_2, \dots, i_{\mathfrak{I}}}, O) \mid (i_1, i_2, \dots, i_{\mathfrak{I}}) \in I(\mathfrak{I})\} = d(P_{i_1^\circ, i_2^\circ, \dots, i_{\mathfrak{I}}^\circ}, O) \leq R); \quad (1.2)$$

čia  $O$  yra skritulio centras (stačiakampio  $B$  istržainių susikirtimo taškas). Tačiau ir šios (1.2) sąlygos panaudojimas praktikoje yra problematiškas, nes  $I(\mathfrak{I})$  galia auga labai greitai, didėjant  $\mathfrak{I}$ .

### 3. Poslinkių dinamikos panaudojimo fraktalinių vaizdų sintezės procedūrose efektyvumo tyrimas

#### 3.1. IFS sudarančių afiniųjų transformacijų veikimo zonų atskyrimas

Šiame skyrelyje yra pateikiamas naujas kriterijus atvirkštinių afiniųjų transformacijų, sudarančių  $\text{IFS}\{\mathbb{R}^2; \omega_1, \omega_2, \dots, \omega_N\}$ , veikimo zonoms atskirti (Euklido erdvėje  $(\mathbb{R}^2, d)$ ). Sudarytasis kriterijus formuluoja sąlygas praktiniam PL-algoritmo įgyvendinimui.

### 3.1.1. Kriterijaus parinkimas

Siūlomo kriterijaus esmė tokia - taškas  $P_{i_1^{\circ}, i_2^{\circ}, \dots, i_k^{\circ}}$  ( $k \in \{1, 2, \dots, \tau - 1\}$ ), gautas skaičiuojant taško  $P \in B$  orbitą  $\{\hat{S}^{0n}(P)\}_{n=1}^{\mathfrak{S}}$ , priklauso afiniosios transformacijos  $\omega_{i_{k+1}^{\circ}}^{-1}$  ( $i_{k+1}^{\circ} \in \{1, 2, \dots, N\}$ ) veikimo zonai tada ir tik tada, kai:

$$\min_{i_{k+1}^{\circ}, \dots, i_{k+\tau}^{\circ} \in \{1, 2, \dots, N\}} \{d(P_{i_1^{\circ}, \dots, i_k^{\circ}, i_{k+1}^{\circ}, \dots, i_{k+\tau}^{\circ}}, P_{i_1^{\circ}, \dots, i_k^{\circ}})\} = \min_{i_{k+2}^{\circ}, \dots, i_{k+\tau}^{\circ} \in \{1, 2, \dots, N\}} \{d(P_{i_1^{\circ}, \dots, i_k^{\circ}, i_{k+1}^{\circ}, i_{k+2}^{\circ}, \dots, i_{k+\tau}^{\circ}}, P_{i_1^{\circ}, \dots, i_k^{\circ}})\} \quad (3.1)$$

( $\tau \geq 1$ ). Kitaip tariant, tam kad nustatyti, kokiai veikimo zonai priklauso taškas  $P_{i_1^{\circ}, i_2^{\circ}, \dots, i_k^{\circ}}$ , reikia remtis „ $\tau$  žingsnių į priekį“ strategija (kriterijumi). Teorinis šio kriterijaus aiškinimas grindžiamas tokiais teiginiais:

a) Jei taškas  $P(P \in B \subset \mathbb{R}^2)$  yra transformacijos  $\omega_i^{-1}$  ( $i \in \{1, 2, \dots, N\}$ ) veikimo zonoje, tada

$$d(\omega_i^{-1}(P), A) \leq d(\omega_j^{-1}(P), A), \text{ su visais } j \in \{1, 2, \dots, N\}, j \neq i;$$

b) Bet kokiam taškui  $P \in \mathbb{R}^2$  ir jo vaizdai  $P_i = \omega_i^{-1}(P)$  ( $i \in \{1, 2, \dots, N\}$ ) teisinga nelygybė:

$$d(P_i, P) \geq \frac{d(P, A) \cdot (1 - s(P))}{s(P)} \geq \frac{d(P, A) \cdot (1 - s)}{s}; \text{ čia: } s(P) = \max\{s_j(P) | j = 1, 2, \dots, N\}; s - \text{IFS}$$

suspaudimo koeficientas. Ši nelygybė reiškia, kad atstumas tarp dviejų taškų  $P$  ir  $P_i$  didėja, kai  $P$  tolsta nuo atraktoriaus  $A$ ;

c) Teisinga lygybė

$$d(P_{i_1^{\circ}, \dots, i_{\mathfrak{S}}^{\circ}}, A) = \min_{i_1^{\circ}, \dots, i_k^{\circ}, i_{k+1}^{\circ}, \dots, i_{\mathfrak{S}}^{\circ} \in I(\mathfrak{S})} \{d(P_{i_1^{\circ}, \dots, i_k^{\circ}, i_{k+1}^{\circ}, \dots, i_{\mathfrak{S}}^{\circ}}, A)\}$$

su visais  $k$  ( $k \in \{1, 2, \dots, \mathfrak{S} - 1\}$ ).

Koks žingsnių skaičius  $\tau$  reikalingas, kad kiekviename orbitos taške  $P_{i_1, i_2, \dots, i_k}$  ( $k \in \{1, 2, \dots, \mathfrak{S}\}$ ) teisingai būtų fiksuojama afinių transformacijų veikimo zonos? Kaip žingsnių skaičius priklauso nuo IFS sudarančių afinių transformacijų skaičiaus bei jas charakterizuojančių parametru? Siekiant gauti atsakymus į šiuos klausimus, buvo atliktas teorinis ir eksperimentinis tyrimas.

### 3.1.2. Zonų nustatymas

Žinant IFS sudarančių afinių transformacijų skaičių  $N$  bei parinkus fiksuotą parametro  $\tau$  reikšmę „žingsnių pirmyn“ skaičius, pirmiausia konstruojamos visos galimos afinių transformacijų superpozicijos, tiksliau, afinių transformacijų eilės numerių (indeksų) perstatiniai su pasikartojimais (kombinacijos)  $\langle k_0, k_1, \dots, k_{\tau} \rangle$ . Bendras kombinacijų skaičius yra  $N^{\tau}$ ;  $i$ -tają indeksų

kombinaciją pažymėkime  $S_i (i \in \{0,1,\dots,N^\tau - 1\})$ , t.y.  $S_i = \langle k_0 k_1 \dots k_{\tau-1} \rangle$ ,  $k_j \in \{0,1,\dots,N-1\}$ ,  $j = 0,1,\dots,\tau-1$ .

Kombinacijoms  $S_i$  generuoti siūloma taikyti naujai sudarytą procedūrą, kurios aprašą pateikiame žemiau. Įveskime parametras  $L_j (j \in \{0,1,\dots,\tau\})$ . Norėdami sugeneruoti  $i$ -tąją kombinaciją (perstatinį), parametrai  $L_j$  priskiriame reikšmę  $i$ . Tada:  $L_j = \lfloor L_{j+1}/N \rfloor$ , kai  $L_{j+1} \geq N$ ,  $L_j = 0$ , kai  $L_{j+1} < N$ ;  $k_j = \{L_{j+1}/N\}$ , kai  $L_{j+1} \neq 0$ ,  $k_j = 0$ , kai  $L_{j+1} = 0$ , su visais  $j = 0,1,\dots,\tau-1$ .

Toliau, kiekvienai sugeneruotai indeksų kombinacijai  $S_i (i=0,1,\dots,N^\tau-1)$  apskaičiuojama afinių transformacijų superpozicija  $(\omega_{k_{\tau-1}+1}^{-1} \circ \omega_{k_{\tau-2}+1}^{-1} \circ \dots \circ \omega_{k_0+1}^{-1})$ . Turėdami visas afinių transformacijų superpozicijas, susijusias su IFS ir pasirinktuju „žingsnių pirmyn“ skaičiumi  $\tau$ , kiekviename taško  $P \in B \subset \mathbb{R}^2$  orbitos vietoje galime operatyviai ir tiksliai (remdamiesi 3.1 kriterijumi) nustatyti afiniosios transformacijos veikimo zoną.

Pastebėsime, jog įvestas kriterijus ((3.1) išraiška) veikia su fiksuotu žingsnių skaičiumi  $\tau$ , kuris skirtingoms IFS yra skirtingas. Taigi, susiduriama su „reikiamo“ žingsnių skaičiaus  $\tau$  nustatymo problema. Teorinis šios problemos sprendimas nėra žinomas. Žemiau siūloma afinių transformacijų veikimo zonų atskyrimo kriterijaus modifikacija, kai žingsnių skaičius  $\tau$  parenkamas adaptyviai, priklausomai nuo analizuojamos IFS. Modifikacijos esmė – vertinamos konkretaus orbitos taško  $P_{i_1, \dots, i_\tau}$  atstumas ne nuo pradinio taško  $P \in B$ , bet nuo IFS atraktoriaus  $A$ . Pastarojo atstumo įvertinimui naudojami IFS sudarančių afinių transformacijų nejudamieji taškai  $M_1, \dots, M_N$ . Maksimalų atstumą tarp nejudamųjų taškų pažymėję  $L (L = \max\{d(M_i, M_j) | i \neq j\})$ , galime teigti, jog  $D < m \cdot L$  kai  $D$  – IFS atraktoriaus diametras, o  $m \in [1;3] \subset \mathbb{R}$ . Toliau, įvedame kriterijaus galios sampratą – kriterijaus galia  $G$  apskaičiuojama, remiantis išraiška:

$$G = \min(G_k), \text{ kur } G_k = \left| \min_{i \in \{0,1,\dots,N^\tau-1\}} \{d(P_{j,i_2,\dots,i_\tau}, P)\} - \min_{i \in \{0,1,\dots,N^\tau-1\}} \{d(P_{k,i_2,\dots,i_\tau}, P)\} \right|, (j \neq k; k \in \{1,2,\dots,N\}).$$

Jeigu  $G < m \cdot L$ , sakysime, kad kriterijaus galia yra maža ir pasirinktas „žingsnių į priekį“ (taške  $P$ ) skaičius  $\tau$  yra nepakankamas; padidiname (taške  $P$ ) iteracijų skaičių  $\tau (\tau := \tau + 1)$ , apskaičiuojame  $S_i$  ir naują kriterijaus galios reikšmę  $G$ , šį žingsnį kartojame tol, kol  $G > m \cdot L$ . Pastebėsime, jog adaptyviam afinių transformacijų veikimo zonų nustatymui kriterijaus galia  $G$  fiksuojama kiekviename stačiakampio  $B \subset \mathbb{R}^2$  taške.

Kaip parodė vėlesni eksperimentiniai tyrimai, pateiktoji afinių transformacijų (sudarančių IFS) veikimo zonų atskyrimo kriterijaus modifikacija netik paspartino sintezės procesą, bet ir pagerino sintezuojamo fraktalinio vaizdo (IFS atraktoriaus) kokybę.

### 3.2. Sintezuojamo fraktalinio vaizdo tolygus spalvinis užpildymas

Nagrinėkime IFS  $\{ \mathbb{R}^2; \omega_1, \omega_2, \dots, \omega_N \}$ , kurios suspaudimo koeficientas  $s$  ( $s = \max\{s_1, s_2, \dots, s_N\}$ ). Tegu  $M_1, M_2, \dots, M_N$  yra atitinkamai afinių transformacijų  $\omega_1, \omega_2, \dots, \omega_N$  nejudamieji taškai. Veikiant afiniškai transformacijai  $\omega_i$  ( $i \in \{1, 2, \dots, N\}$ ), taško  $P$ , nutolusio nuo taško  $M_i$  atstumu  $\delta$  ( $\delta$  – mažas teigiamas skaičius), orbita išeina už skritulio (su spinduliu  $R$  ir centru taške  $M_i$ ) ribų tada ir tik tada kai iteracijų skaičius (pažymėkime  $\mathfrak{I}_i$ ) tenkina sąlygą  $\mathfrak{I}_i \geq \log(R/\delta)/\log(1/s_i)$ . Be to, jei  $s_i > s_j$  ( $i, j \in \{1, 2, \dots, N\}$ ), tai taškai iš  $M_j$  aplinkos palieka skritulį greičiau nei taškai iš  $M_i$  aplinkos. Dėl to, taikant vienodą iteracijų skaičių (sintezės metu) visoms IFS sudarančioms transformacijoms, gauname netolygiai užpildytą vaizdą (IFS atraktorių). Akivaizdu, jog reikia įvesti iteracijų skaičiaus korekciją, atsižvelgiant į tai, kurios afinės transformacijos veikimo zonoje konkrečiu momentu yra vienas ar kitas orbitos taškas.

Pradinis iteracijų skaičius apdorojamai IFS apskaičiuojamas, remiantis nelygybe

$$\mathfrak{I}_{max}(P) \geq -\log(R/\delta)/\log(s_{i^0}); \quad (4.1)$$

čia  $R$  yra skritulio, talpinančio stačiakampį  $B$ , spindulys (2.5.1 skyrelis; 2.6 pav.). Jeigu  $P_{i_1^0, i_2^0, \dots, i_k^0}$  yra  $k$ -tasis taško  $P \in B \subset \mathbb{R}^2$  orbitos taškas,  $\mathfrak{I}_{left}$  – likęs iteracijų skaičius (pradiniu momentu  $\mathfrak{I}_{left} = \mathfrak{I}_{max}(P)$ ) ir  $P_{i_1^0, i_2^0, \dots, i_k^0}$  patenka į  $i$ -tosios ( $i \in \{1, 2, \dots, N\}$ ) atvirkštinės afinės transformacijos veikimo zoną, tai  $\mathfrak{I}_{left} = \mathfrak{I}_{left} + k$ , kur  $k$  reikšmė imama iš 3.1 lentelės. Pastebėsime, jog duomenys pateikti 3.1 lentelėje, gauti empiriniu būdu, atlikus gana daug eksperimentų su įvairaus tipo IFS.

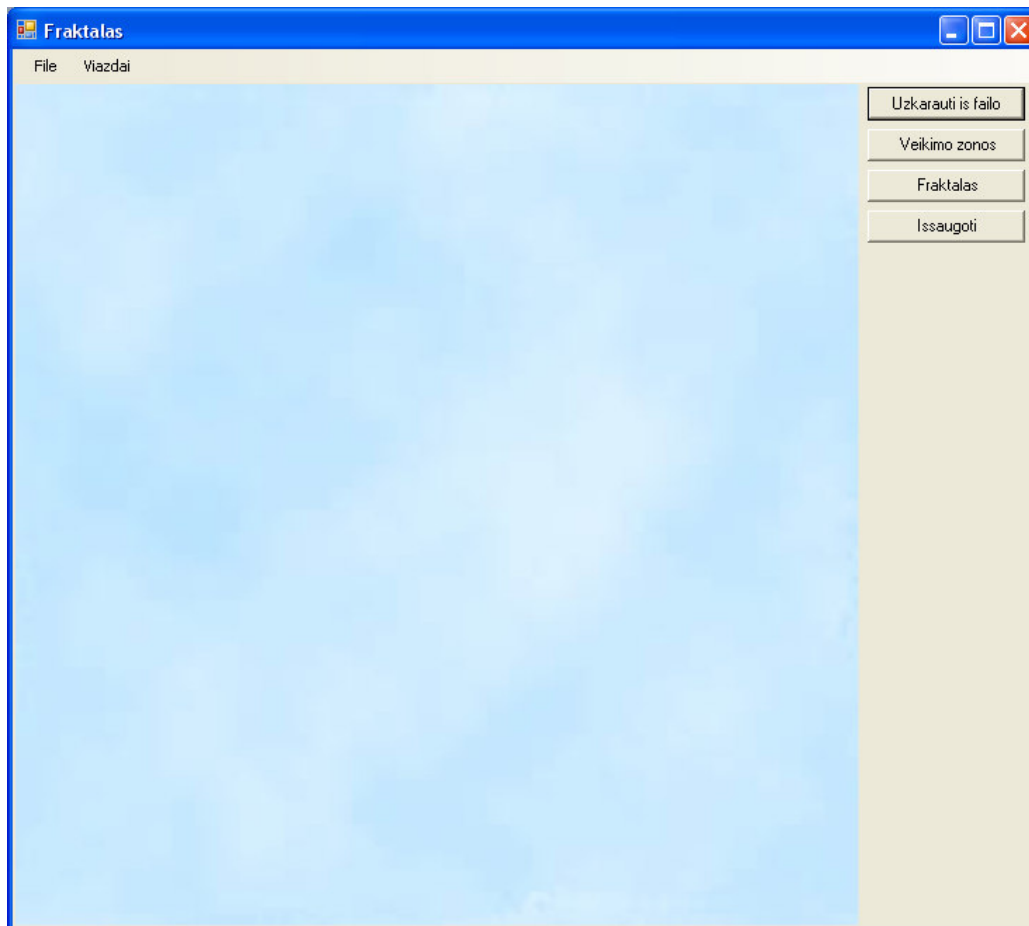
Afiniosios transformacijos $\omega_i$ suspaudimo koeficientas, $s_i$	Iteracijų skaičiaus korekcija, $k$
0 – 0.1	-1.4
0.1 – 0.2	-1.1
0.3 – 0.4	-0.8
0.4 – 0.5	-0.4
0.5 – 0.6	0.6
0.7 – 0.8	0.8
0.9 – 1	0.9

**3.1 lentelė. Iteracijų skaičiaus korekcijų reikšmės**

## 4. Eksperimentinis tyrimas

### 4.1 Trumpas programinio įrankio, su kuriuo bus atliekami eksperimentai, aprašymas.

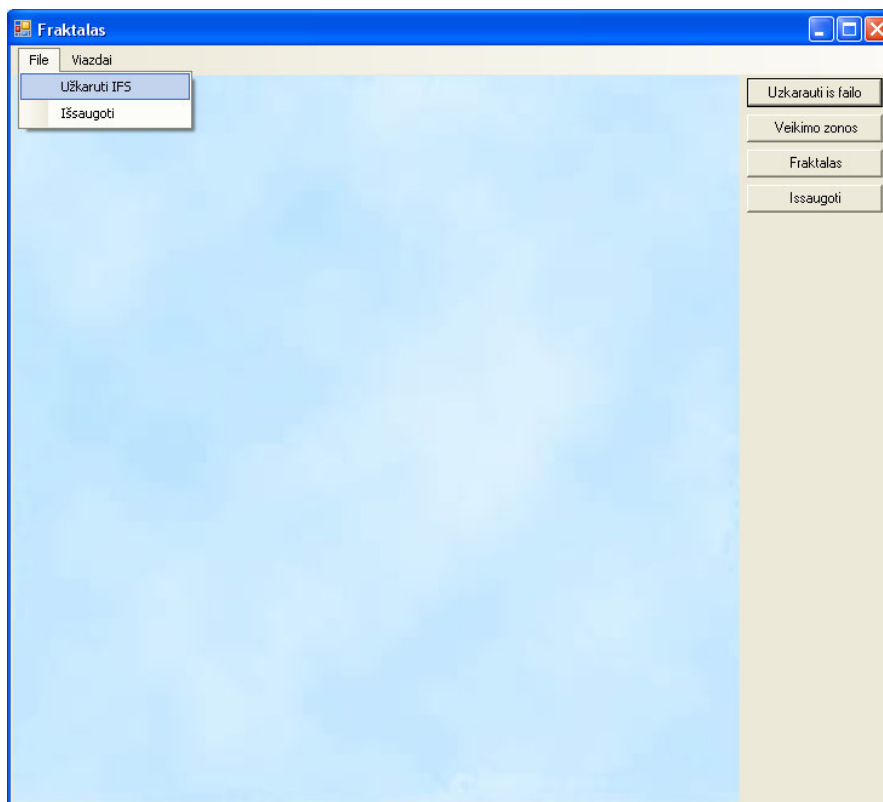
Paleidus IFS atraktoriams sintezuoti skirtą programą, ekrane bus matomas toks vaizdas (langas; 4.1 pav. )



4.1 pav. Pagrindinis langas

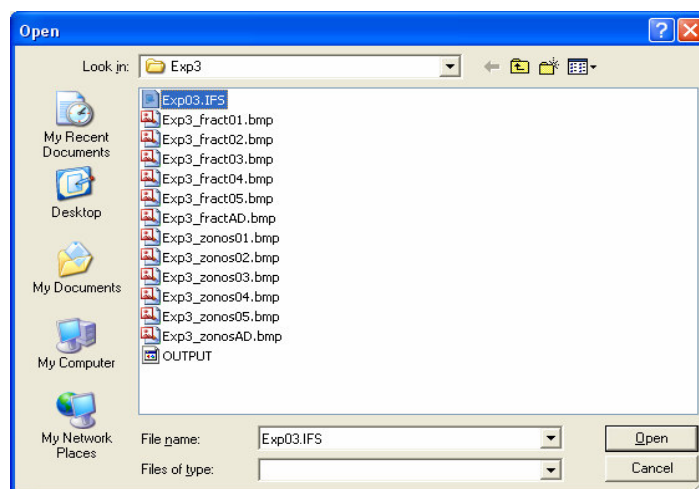
Norint pradėti darbą, reikia turėti IFS parametrus, išsaugotus tekstiniame, faile. Galime pasinaudoti paketo Fractal Vision teikiamomis galimybėmis, t.y. galime norimą IFS ir ją išsaugoti faile (4.2 pav).





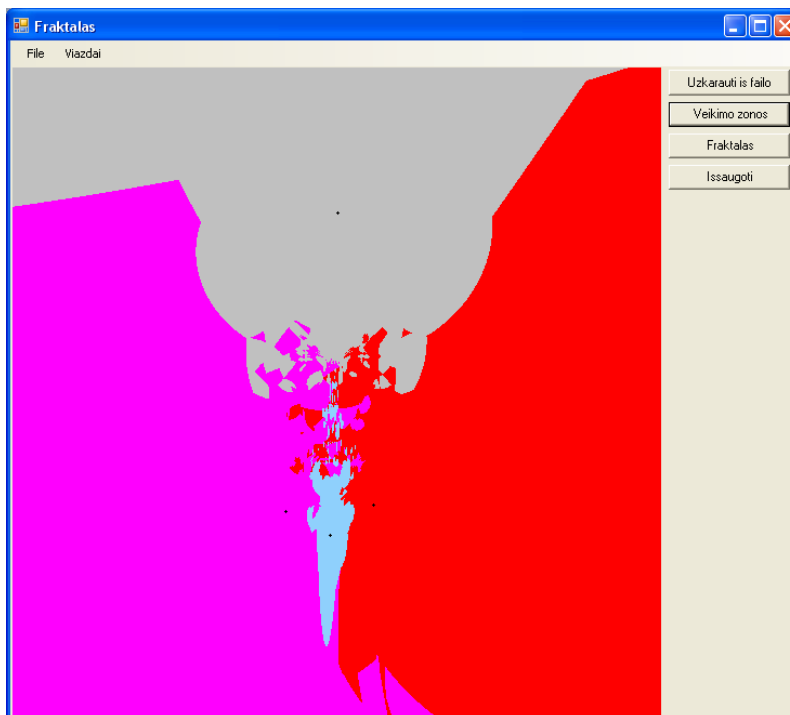
**4.2 pav. Pasirinkti IFS iš failo**

Pasirinkime sukurtą IFS parametrų failą.

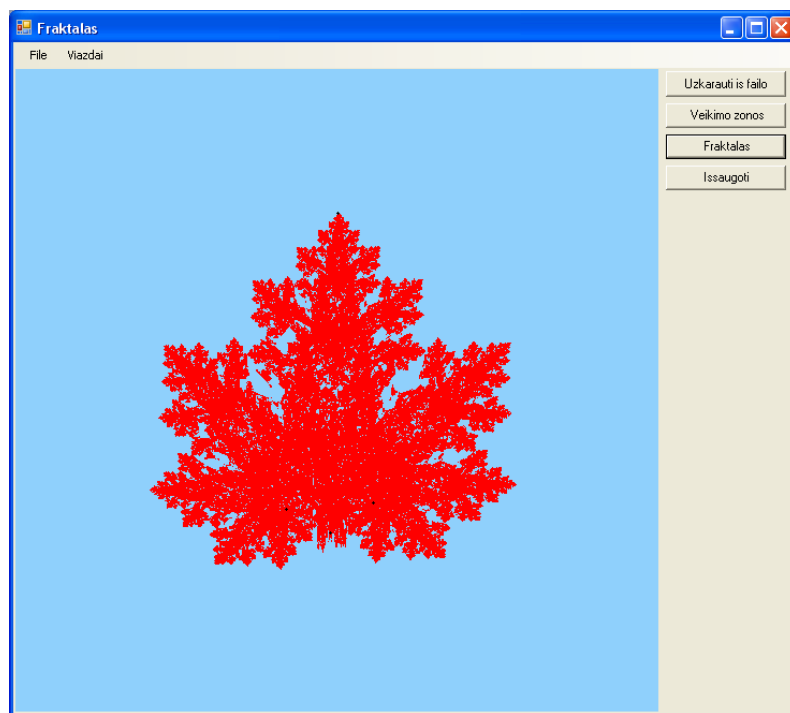


**4.3 pav. Atidaryti pasirinktą IFS failą**

Atsidarius failą, galimi du tęsiniai – „veikimo zonos“ arba „fraktalas“. Atitinkamai gausime rezultatą – afiniųjų transformacijų veikimo zonas (4.4 pav.) arba IFS atraktorių (4.5 pav.).



4.4 pav. Afiniųjų transformacijų veikimo zonos



4.5 pav. IFS atraktorius

## 4.2. Afinių transformacijų veikimo zonų atskyrimo kriterijaus tyrimas

Pirmoje eksperimentinio tyrimo dalyje įvertinsime modifikuoto afinių transformacijų (sudarančių IFS) veikimo zonų atskyrimo kriterijaus (3.1 išraiška; 3.1.1 skyrelis) panaudojimo tikslumą bei efektyvumą.

Imkime tris skirtingas iteruotųjų funkcijų sistemas IFS:

a) IFS  $\{\mathbb{R}^2; \omega_1, \omega_2\}$ ;

$$\omega_1 = \begin{pmatrix} 0.12 & -0.61 \\ 0.61 & 0.12 \end{pmatrix} \begin{pmatrix} x \\ y \end{pmatrix} + \begin{pmatrix} -0.69 \\ 0.32 \end{pmatrix}; \quad \omega_2 = \begin{pmatrix} 0.53 & 0.37 \\ -0.37 & 0.53 \end{pmatrix} \begin{pmatrix} x \\ y \end{pmatrix} + \begin{pmatrix} 0.33 \\ 0.72 \end{pmatrix}$$

b) IFS  $\{\mathbb{R}^2; \omega_1, \omega_2\}$ ;

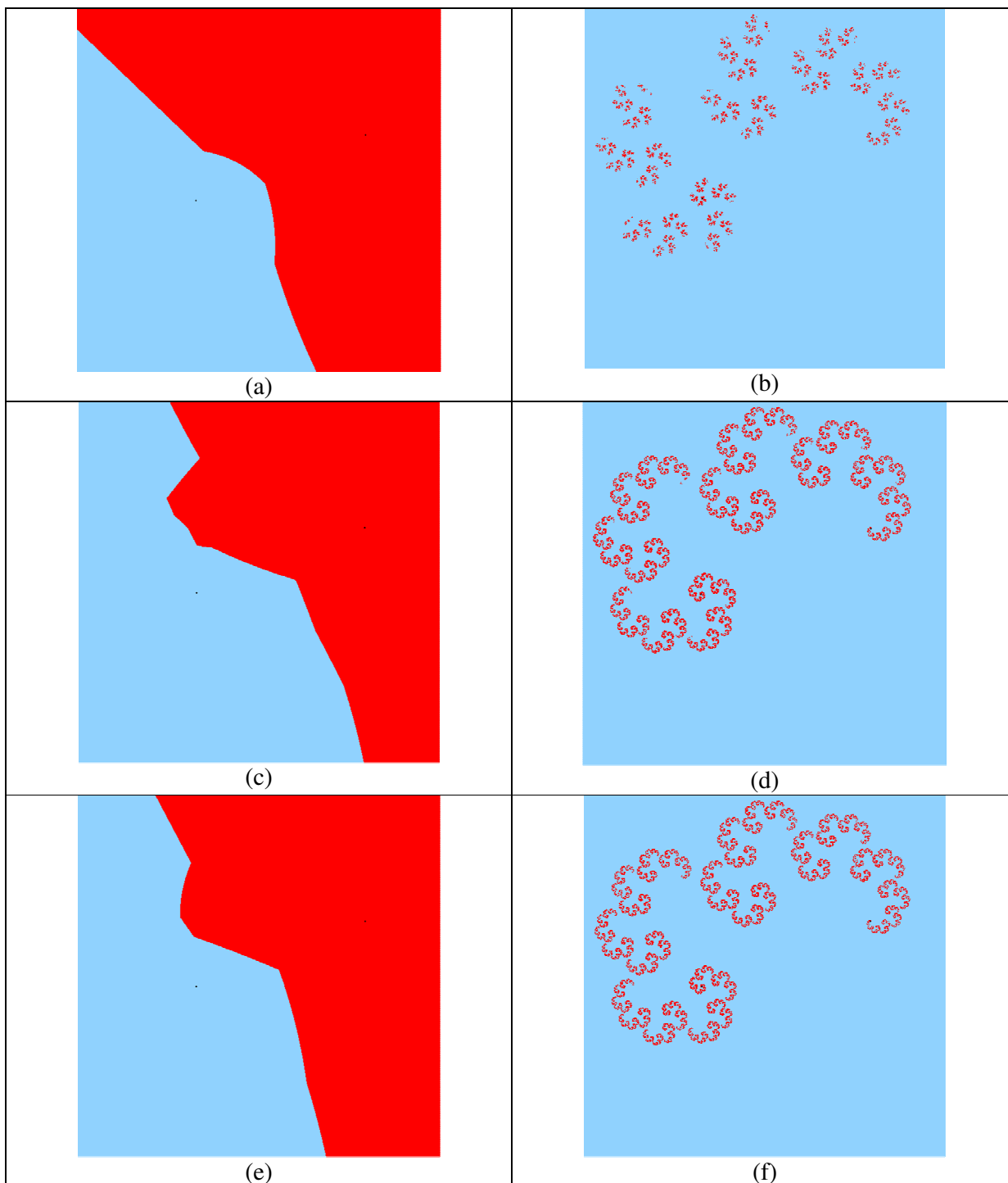
$$\omega_1 = \begin{pmatrix} 0.5 & 0 \\ 0 & 0.5 \end{pmatrix} \begin{pmatrix} x \\ y \end{pmatrix} + \begin{pmatrix} 1.03 \\ 0.91 \end{pmatrix}; \quad \omega_2 = \begin{pmatrix} -0.76 & 0.15 \\ -0.15 & -0.76 \end{pmatrix} \begin{pmatrix} x \\ y \end{pmatrix} + \begin{pmatrix} -0.52 \\ -0.16 \end{pmatrix}$$

c) IFS  $\{\mathbb{R}^2; \omega_1, \omega_2, \omega_3, \omega_4\}$ ;

$$\omega_1 = \begin{pmatrix} 0.14 & 0.01 \\ 0 & 0.51 \end{pmatrix} \begin{pmatrix} x \\ y \end{pmatrix} + \begin{pmatrix} -0.08 \\ -1.31 \end{pmatrix}; \quad \omega_2 = \begin{pmatrix} 0.43 & 0.52 \\ -0.45 & 0.5 \end{pmatrix} \begin{pmatrix} x \\ y \end{pmatrix} + \begin{pmatrix} 1.49 \\ 0.75 \end{pmatrix}$$

$$\omega_3 = \begin{pmatrix} 0.45 & -0.49 \\ 0.47 & 0.47 \end{pmatrix} \begin{pmatrix} x \\ y \end{pmatrix} + \begin{pmatrix} -1.62 \\ -0.74 \end{pmatrix}; \quad \omega_4 = \begin{pmatrix} 0.49 & 0 \\ 0 & 0.51 \end{pmatrix} \begin{pmatrix} x \\ y \end{pmatrix} + \begin{pmatrix} 0.02 \\ 1.62 \end{pmatrix}$$

Šių IFS veikimo zonos bei atraktoriai pateikti 4.1, 4.2, 4.3 paveikslėliuose; detalesnius veikimo zonų vaizdus bei atraktorius galime rasti priede.



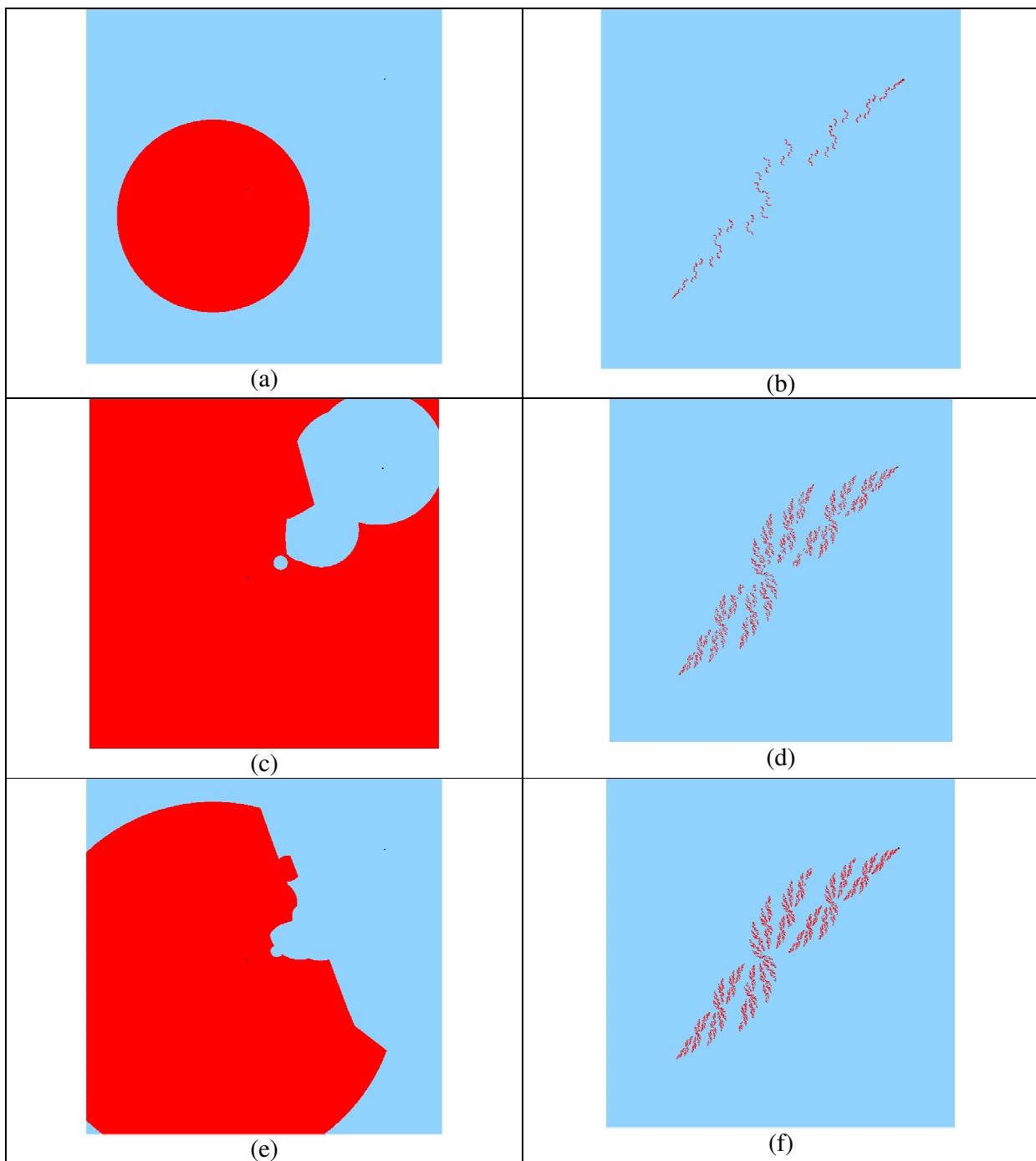
4.6 pav. Pirmosios IFS  $\{\mathbb{R}^2; \omega_1, \omega_2\}$  atraktoriai, gautas atsižvelgiant į išskirtas veikimo zonas:

(a) veikimo zonos, ( $\tau=2$ ); (b) IFS atraktoriai, kai  $\tau=2$ ;

(c) veikimo zonos, ( $\tau=3$ ); (d) IFS atraktoriai, kai  $\tau=3$ ;

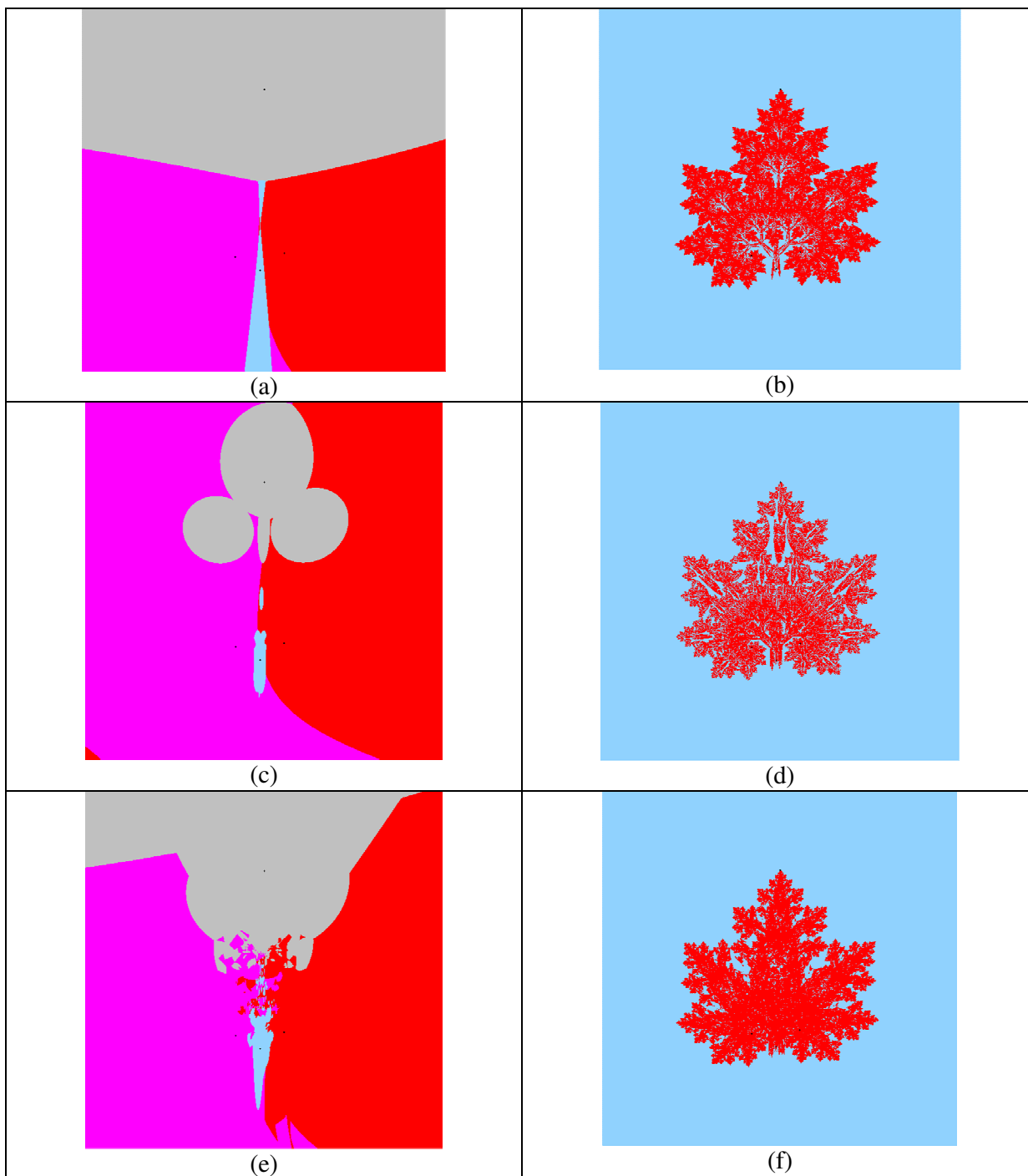
(e) veikimo zonos, naudojant naujai sudarytą adaptyvųjį kriterijų;

(f) IFS atraktoriai, kai taikomas adaptyvus kriterijus;



4.7 pav. Antroios IFS  $\{\mathbb{R}^2; \omega_1, \omega_2\}$  atraktorius, gautas atsižvelgiant į išskirtas veikimo zonas:

- (a) veikimo zonos, ( $\tau=1$ ); (b) IFS atraktorius, kai  $\tau=1$ ;
- (c) veikimo zonos, ( $\tau=4$ ); (d) IFS atraktorius, kai  $\tau=4$ ;
- (e) veikimo zonos, naudojant naujai sudarytą adaptyvųjį kriterijų;
- (f) IFS atraktorius, kai taikomas adaptyvus kriterijus;



4.8 pav. Trečiosios IFS  $\{\mathbb{R}^2; \omega_1, \omega_2, \omega_3, \omega_4\}$  atraktorius, gautas atsižvelgiant į išskirtas veikimo zonas:

(a) veikimo zonos, ( $\tau=1$ ); (b) IFS atraktorius, kai  $\tau=1$ ;

(c) veikimo zonos, ( $\tau=4$ ); (d) IFS atraktorius, kai  $\tau=4$ ;

(e) veikimo zonos, naudojant naujai sudarytą adaptyvųjį kriterijų;

(f) IFS atraktorius, kai taikomas adaptyvus kriterijus;

Kaip matome iš pavyzdžių skirtingoms IFS reikia imti skirtingą iteracijų (žingsnių pirmyn) skaičių  $\tau$ , Pastebėsime, jog fiksavus (pakankamai didelį) iteracijų skaičių (kad tiktų visoms IFS) susidutume su didelėmis laikinėmis sąnaudomis (4.1, 4.2, 4.3 lentelės).

IFS atraktoriaus sintezės procese panaudojus adaptyviają iteracijų skaičiaus  $\tau$  nustatymo procedūrą (kriterijaus galią  $G$ ), afinijų transformacijų veikimo zonas pavyko atskirti kur kas efektyviau. Taškuose, kur kriterijaus galia  $G$  buvo didelė, iteracijų skaičius buvo parenkamas mažas, o ten, kur galia maža, iteracijų skaičius buvo didinamas.

Laikas (sek.)	Iteracijų skaičius, $\tau$
0.266	1
0.500	2
0.968	3
1.750	4
3.375	5
1.172	Kintamas (adaptyvus kriterijus)

**4.1 lentelė. Pirmosios IFS  $\{\mathbb{R}^2; \omega_1, \omega_2\}$  atraktoriaus generavimo laikinės sąnaudos**

Laikas (sek.)	Iteracijų skaičius, $\tau$
0.265	1
0.516	2
1.148	3
1.935	4
3.398	5
1.188	Kintamas (adaptyvus kriterijus)

**4.2 lentelė. Antrosios IFS  $\{\mathbb{R}^2; \omega_1, \omega_2\}$  atraktoriaus generavimo laikinės sąnaudos**

Laikas (sek.)	Iteracijų skaičius, $\tau$
0.532	1
1.843	2
6.828	3
28.735	4
98.390	5
11.266	Kintamas (adaptyvus kriterijus)

**4.3 lentelė. Trečiosios IFS  $\{\mathbb{R}^2; \omega_1, \omega_2, \omega_3, \omega_4\}$  atraktoriaus generavimo laikinės sąnaudos**

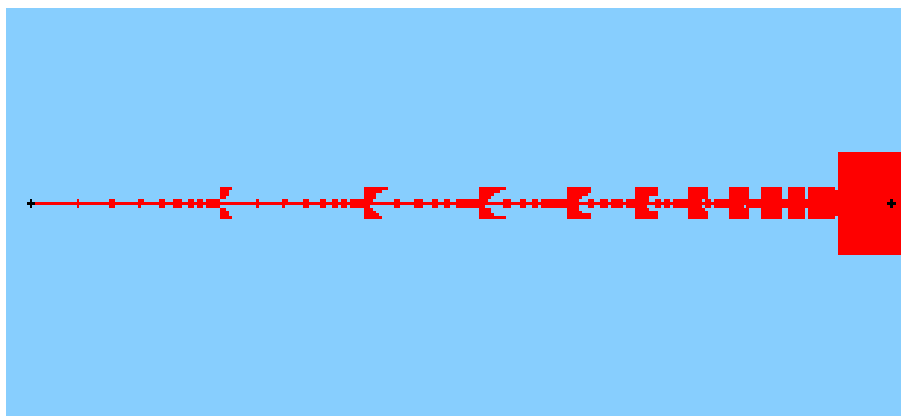
### 4.3. Sintezuojamo fraktalinio vaizdo tolygaus spalvinio užpildymo tyrimas

Neįvedus iteracijų skaičiaus (IFS atraktoriaus sintezės metu) korekcijos, gaunamas netolygiai užpildytas fraktalinis vaizdas (atraktorius).

Ištikrųjų imkime IFS  $\{\mathbb{R}^2; \omega_1, \omega_2\}$ :

$$\omega_1 = \begin{pmatrix} 0.78 & 0 \\ 0 & 0.78 \end{pmatrix} \begin{pmatrix} x \\ y \end{pmatrix} + \begin{pmatrix} 2.02 \\ 0 \end{pmatrix}; \quad \omega_2 = \begin{pmatrix} 0.24 & 0 \\ 0 & 0.24 \end{pmatrix} \begin{pmatrix} x \\ y \end{pmatrix} + \begin{pmatrix} 0 \\ 0 \end{pmatrix}.$$

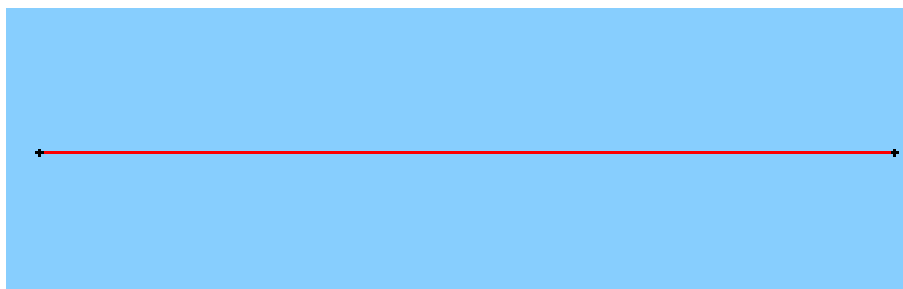
Šios IFS atraktorius yra žinomas – tiesės atkarpa. Be iteracijų skaičiaus korekcijos gautas fraktalinis vaizdas (IFS atraktoriaus aproksimacija) pavaizduotas 4.9 pav.



**4.9 pav. IFS atraktorius (be iteracijų skaičiaus korekcijos)**

Matome, jog tai (toli gražu) nėra tiesės atkarpa. Įvedus korekciją, t.y. atsižvelgiant į tai, kurios transformacijos veikimo zonoje yra vienas ar kitas orbitos taškas gaunamas kur kas tikslesnis IFS atraktorius (4.10 pav.).



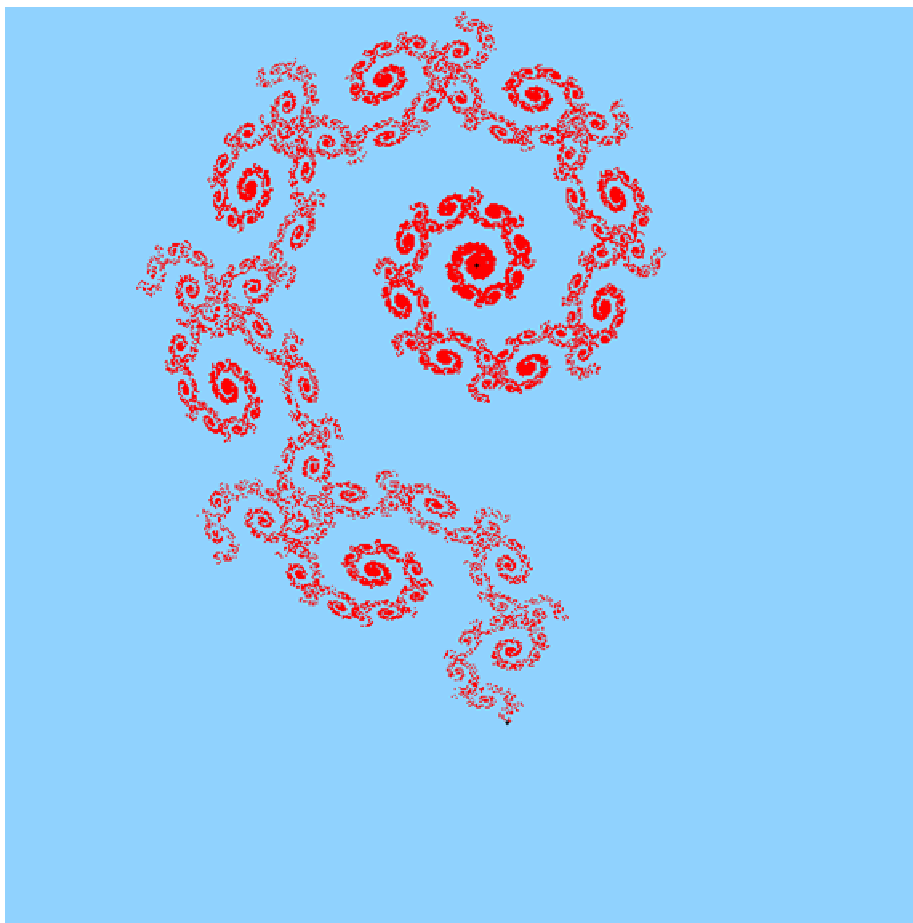


**4.10 pav. IFS atraktorius (su iteracijų skaičiaus korekcija)**

Imkime kitą pavyzdį – IFS  $\{\mathbb{R}^2; \omega_1, \omega_2\}$ ;

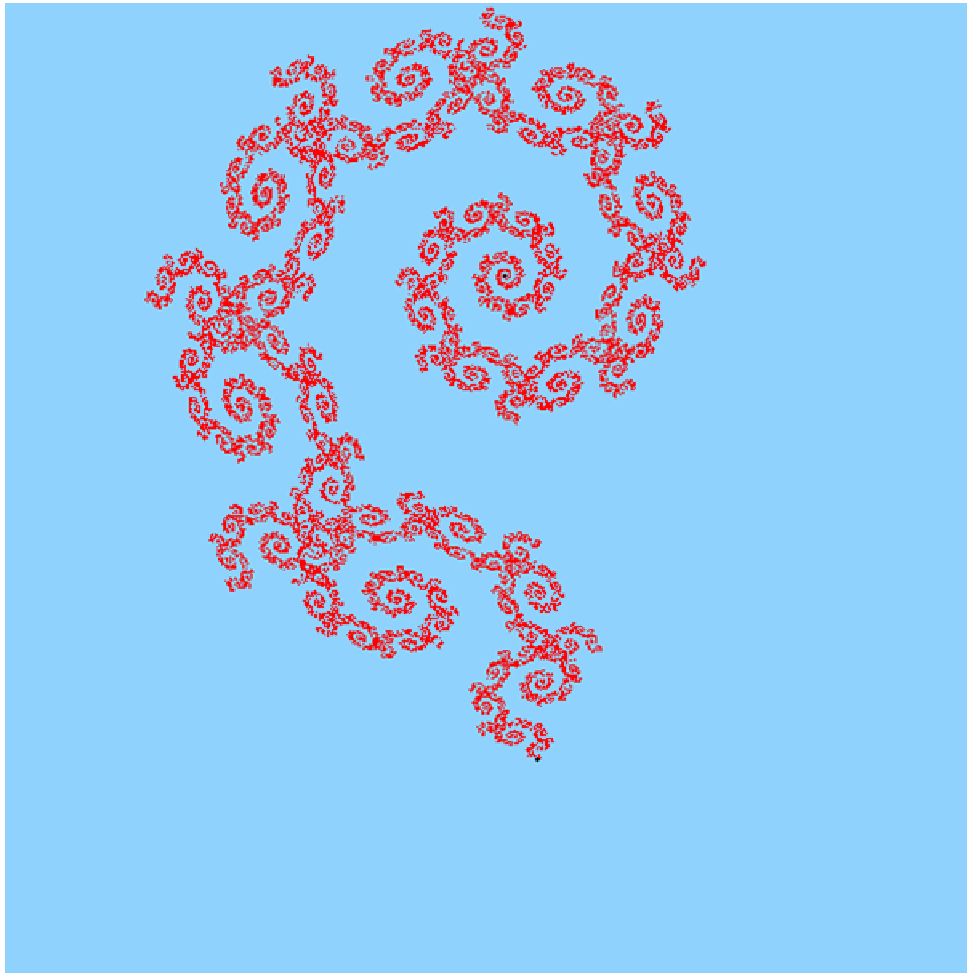
$$\omega_1 = \begin{pmatrix} 0.38 & -0.32 \\ -0.18 & 0.32 \end{pmatrix} \begin{pmatrix} x \\ y \end{pmatrix} + \begin{pmatrix} -0.12 \\ -0.96 \end{pmatrix}; \quad \omega_2 = \begin{pmatrix} 0.61 & 0.61 \\ -0.61 & 0.61 \end{pmatrix} \begin{pmatrix} x \\ y \end{pmatrix} + \begin{pmatrix} -0.68 \\ 0.5 \end{pmatrix}.$$

Skirtingai nei ankstesniajame pavyzdyje, neįvedant iteracijų skaičiaus korekcijos, gauname neryškų vaizdą tos afiniosios transformacijos veikimo zonoje kurios suspaudimo koeficientas yra mažesnis.



**4.11 pav. Antrosios IFS atraktorius (be iteracijų skaičiaus korekcijos)**

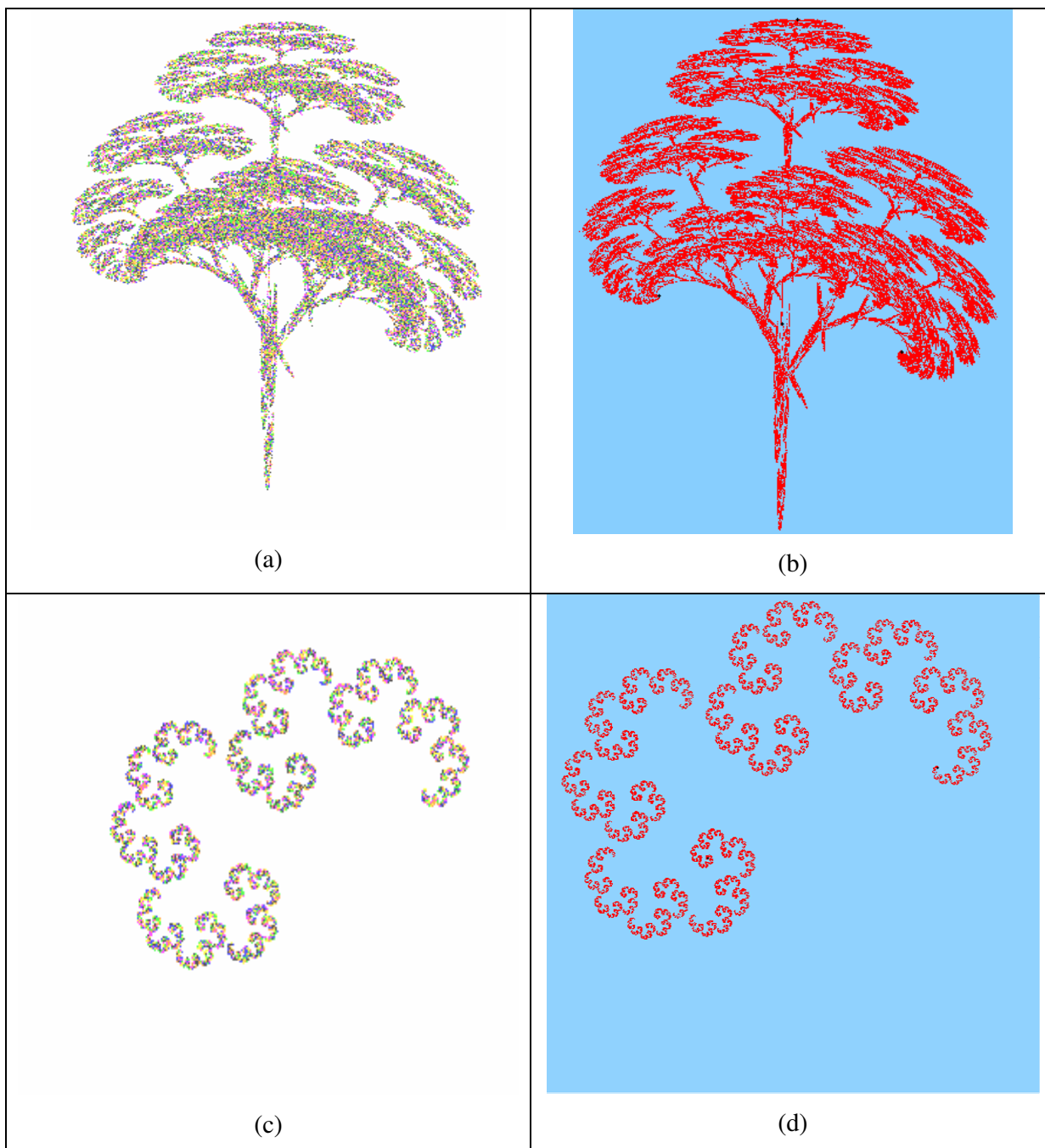
Įvedus iteracijų skaičiaus (sintezės metu) korekciją, netolygaus fraktalio vaizdo užpildymo problema yra išsprendžiama (4.12 pav).



**4.12 pav. Antrosios IFS atraktorius (su iteracijų skaičiaus korekcija)**

### **4.3. Sugeneruotų fraktalinių vaizdų (IFS atraktorių) palyginimas**

PL-algoritmas geometrinių fraktalų (IFS atraktorių) sintezei, dar nebuvo pritaikytas, todėl tenka lyginti skirtingų generavimo algoritmų sugeneruotus fraktalinius vaizdus (IFS atraktorius), t.y. tarp PL-algoritmo ir atsitiktinių iteracijų algoritmo, bet kokybiniam įvertinimui reiktų suskaičiuoti gautų IFS atraktorių fraktalines dimensijas ir palyginti jas su teorinėmis fraktalinėmis dimensijomis. Tačiau fraktalinėms dimensijoms skaičiuoti reikalingas programinis įrankis, kuris dar nėra sukurtas. Todėl galimas tik vizualinis palyginimas, 4.13 pav. pateikiami keli fraktaliniai vaizdai (IFS atraktoriai) gauti skirtingais generavimo algoritmais.



4.13 pav. Sugeneruotų fraktalinių viazdų (IFS atraktorių) palyginimas.

(a) IFS  $\{\mathbb{R}^2; \omega_1, \omega_2, \omega_3, \omega_4\}$  atraktorius sugeneruotas atsitiktinių iteracijų algoritmu (Fractal Vision paketu);

(b) IFS  $\{\mathbb{R}^2; \omega_1, \omega_2, \omega_3, \omega_4\}$  atraktorius sugeneruotas sugeneruotas PL-algoritmu;

(c) IFS  $\{\mathbb{R}^2; \omega_1, \omega_2\}$  atraktorius sugeneruotas atsitiktinių iteracijų algoritmu (Fractal Vision paketu);

(d) IFS  $\{\mathbb{R}^2; \omega_1, \omega_2\}$  atraktorius sugeneruotas sugeneruotas PL-algoritmu;

## Išvados

1. Realizuotas pirmasis „pabėgimo laiko“ algoritmo versijos, skirtos generuoti fraktaliniams vaizdams (IFS atraktoriams) etapas – IFS sudarančių afinių transformacijų veikimo zonų atskyrimas. Pasiūlytas naujas afinių transformacijų superpozicijų generavimo būdas.
2. Nepaisant visų priemonių, skirtų racionaliam afinių transformacijų veikimo zonų atskyrimo procedūros darbui, reikalavimai laikinoms sąnaudoms nėra pilnai tenkinami (kai kurių IFS atraktorių generavimo laikai yra 1-2 minučių eilės). Darbe nagrinėjamas ir siūlomas adaptyvus požiūris į strategiją „ $\tau$  žingsnių pirmyn“ taikymą, t.y. siūloma naudoti kintamą žingsnį  $\tau$ , priklausomai nuo apdorojamos IFS atraktoriaus (fraktalinio vaizdo) dalies.
3. Sklandžiam PL-algoritmo veikimui, būtina naudoti iteracijų skaičiaus (sintezės procese) korekciją, priešingu atveju gaunamas netolygiai užpildytas fraktalinis vaizdas (IFS atraktorius).
4. Kriterijaus „ $\tau$  žingsnių pirmyn“ efektyvumas (laikinių sąnaudų prasme ir ne tik) labai priklauso nuo IFS sudarančių afinių transformacijų parametrų. Atskiru atveju kai nė viena iš afinių transformacijų nerealizuoja pasūkių koordinačių ašių atžvilgiu, nepriklausomai nuo afinių transformacijų skaičiaus  $N$ , pakanka imti žingsnių skaičių  $\tau=1$ .
5. Tyrimai rodo, jog racionalus afinių transformacijų veikimo zonų atskyrimo procedūros organizavimas betarpiškai įtakoja viso „pabėgimo laiko“ algoritmo darbą, kadangi antrasis šio algoritmo etapas (tolygus fraktalinio vaizdo užpildymas) faktiškai atkartoja (daugelį kartų) pirmąjį.

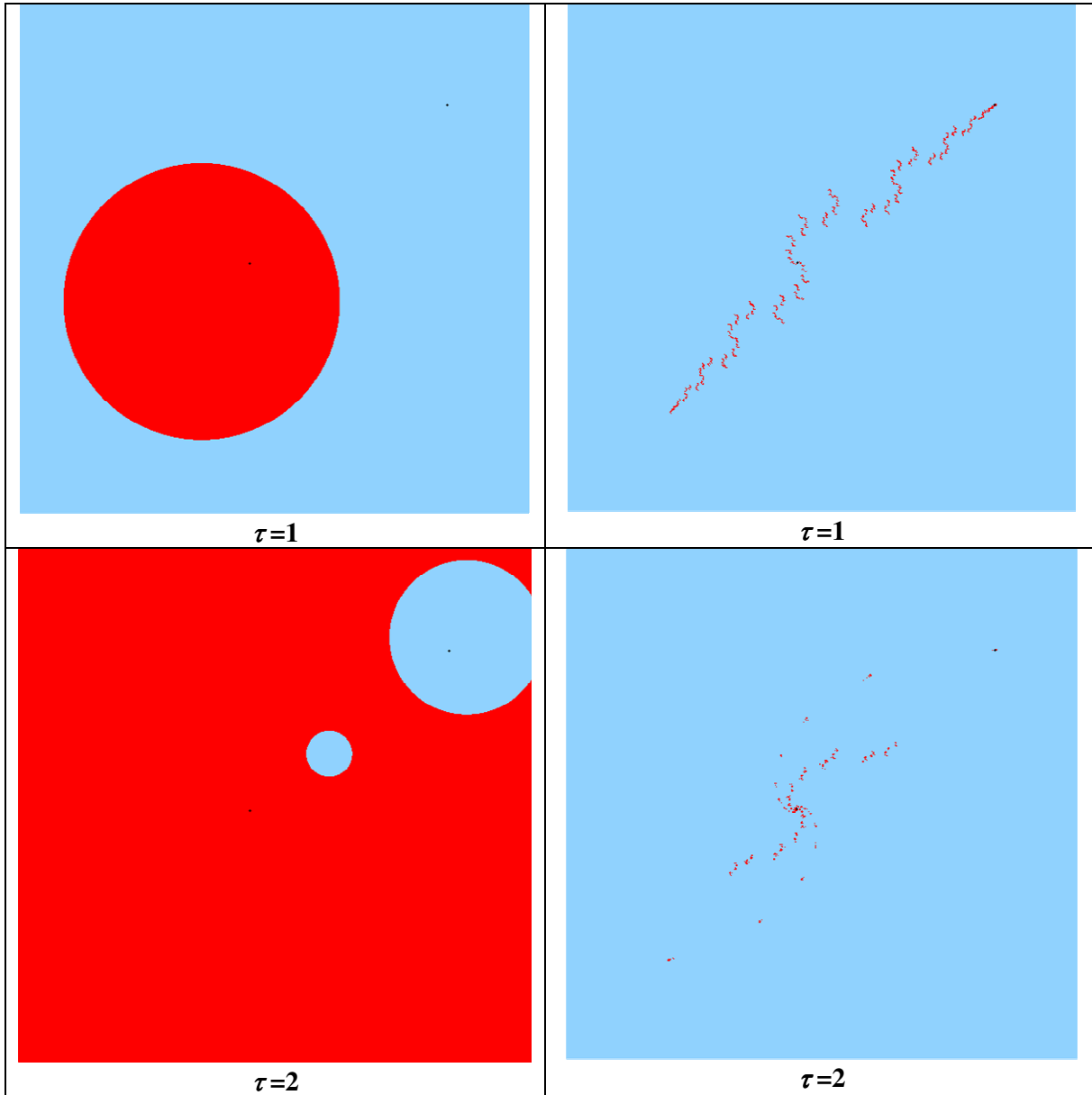
## Literatūros sąrašas

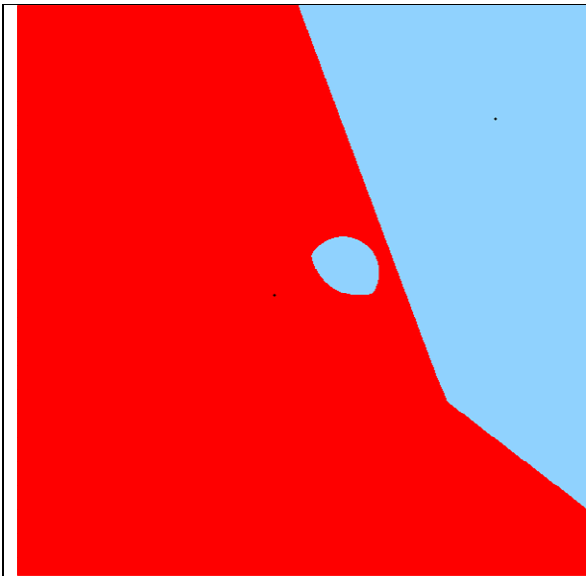
1. M. BARNSELY, Fractals Everywhere, Second edition, Academic Press Professional, Cambridge 1993.
2. FractalVision: Put Fractals to Work For You Authors/ Dick Oliver: Publisher; 1992.— 485 p.
3. B. B. MANDELBROT, The Fractal Geometry of Nature. 1977
4. D. OLIVER, Fractal Vision, Sams Publishing (A division of Prentice Hall Computer Publishing, Carmel, Indiana). 1992.
5. W. PAULSON, Introduction to Fractals and IFS; 1998
6. H. PEITGEN, P. RICHTER, Krasota fraktalov. Obrazy kompleksnych dinamičeskich sistem.—M.:Mir, 1993.
7. H. PEITGEN, P. RICHTER, The Beauty of Fractals, Springer—Verlag, Berlin, New York. 1986.
8. J. VALANTINAS, Fraktalinė geometrija.— K.: Technologija, 1999.—p.10— 69,121— 153

# Priedai

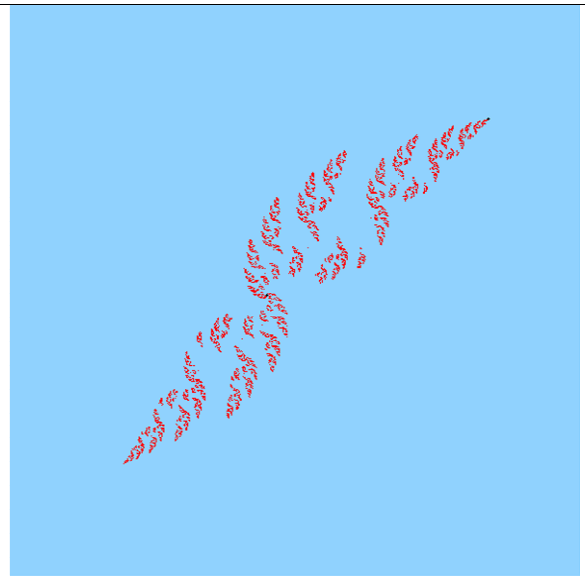
## Detalesni eksperimento paveikslukai

4.2 skyrelio antrosios IFS veikimo zonos bei atraktoriaus prie skirtingų afininių transformacijų veikimo zonų.

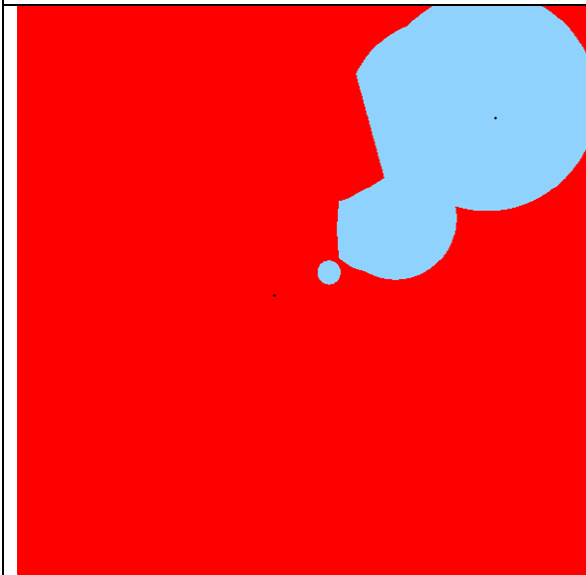




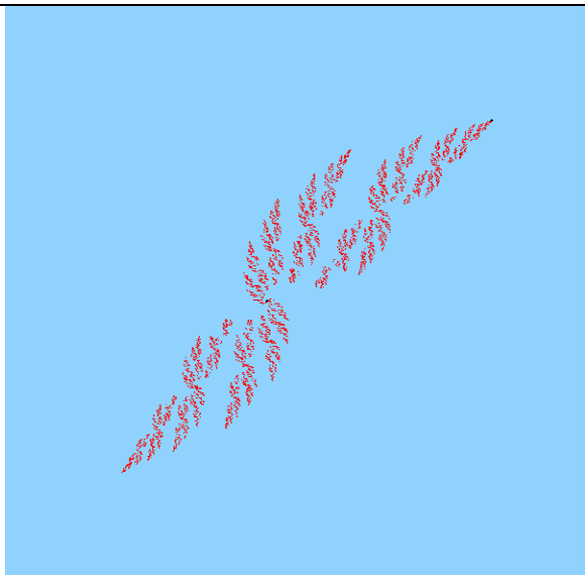
$\tau=3$



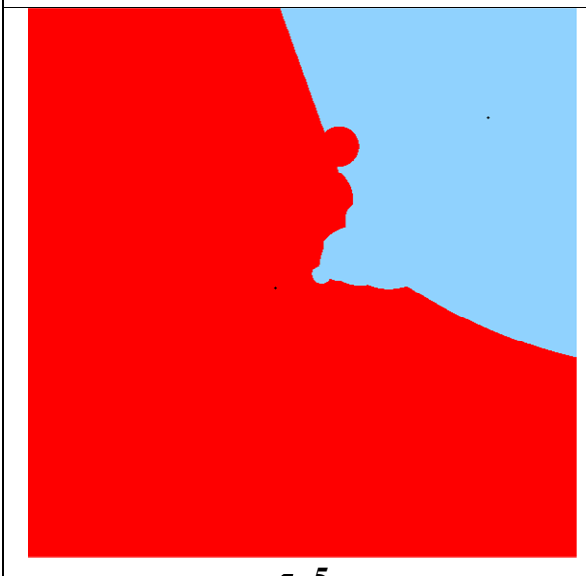
$\tau=3$



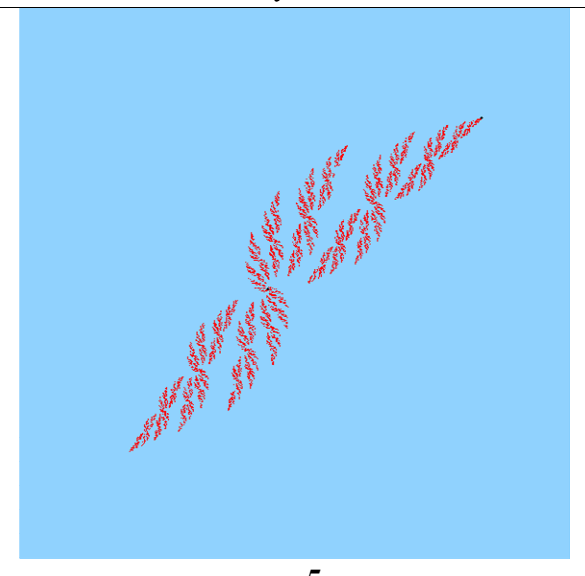
$\tau=4$



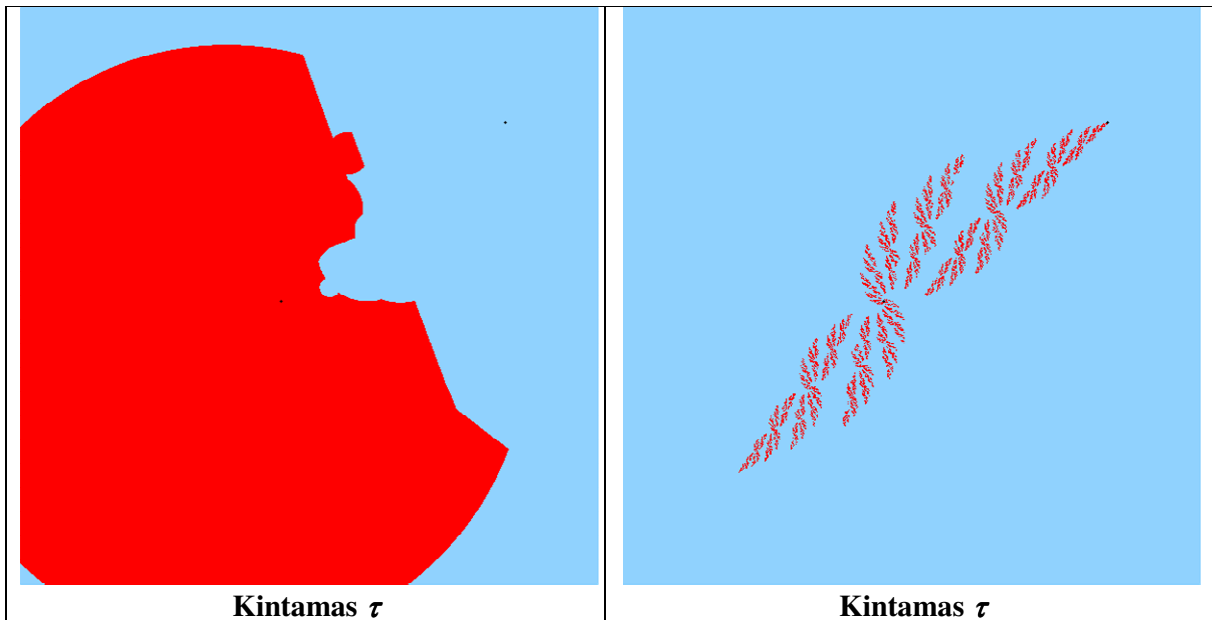
$\tau=4$



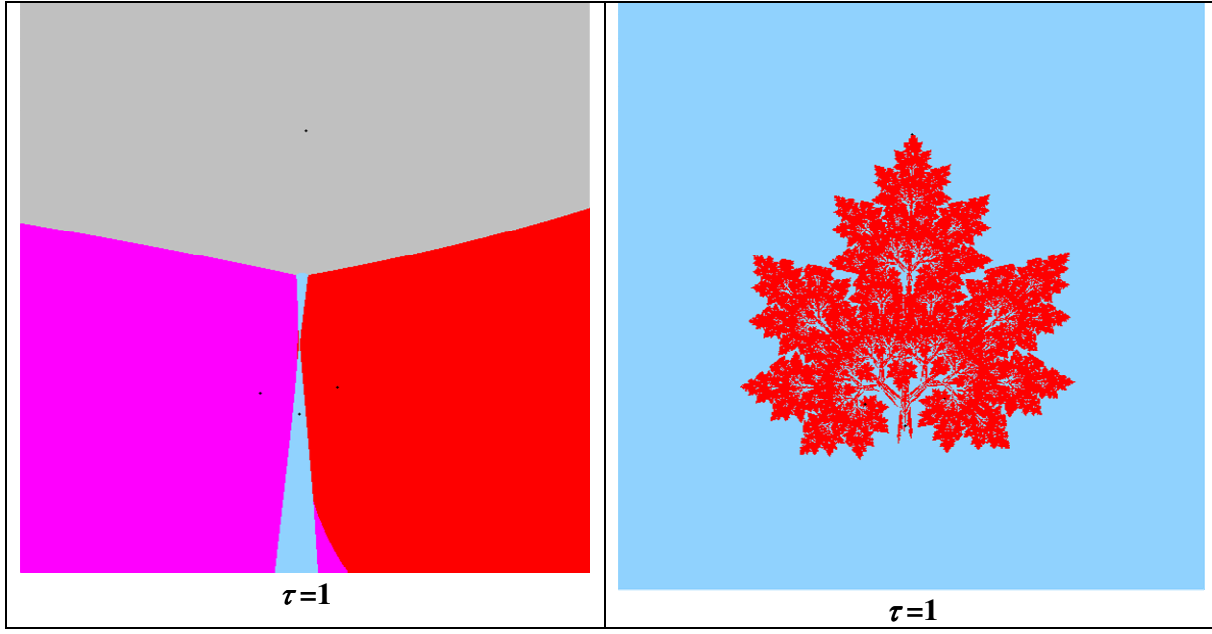
$\tau=5$



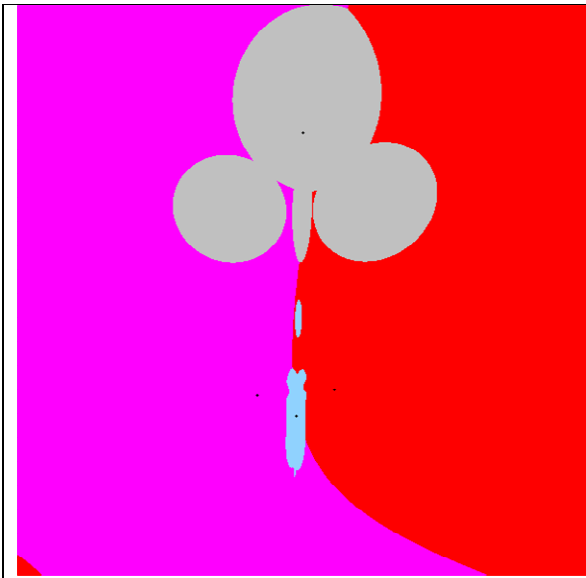
$\tau=5$



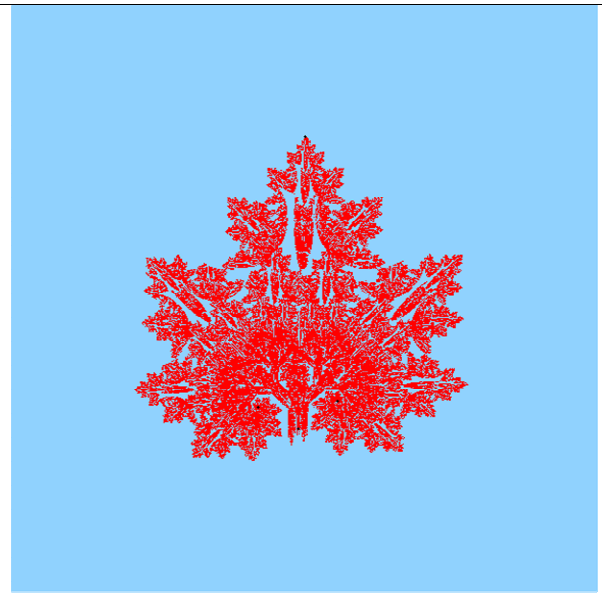
4.2 skyrelio trėiosios IFS veikimo zonos bei atraktorius prie skirtingų afinijųjų transformacijų veikimo zonų.



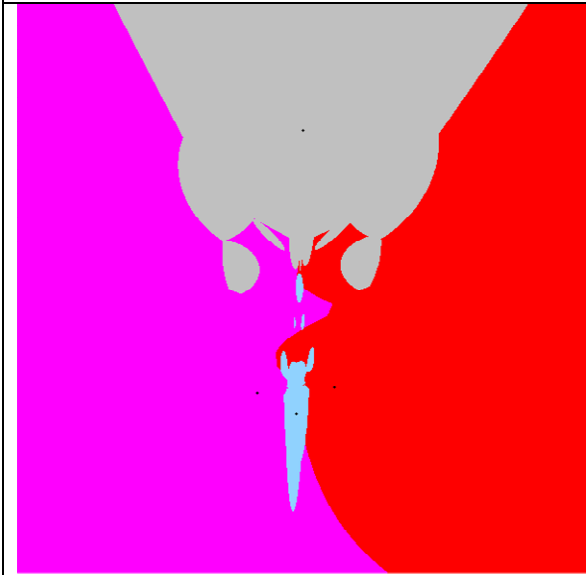




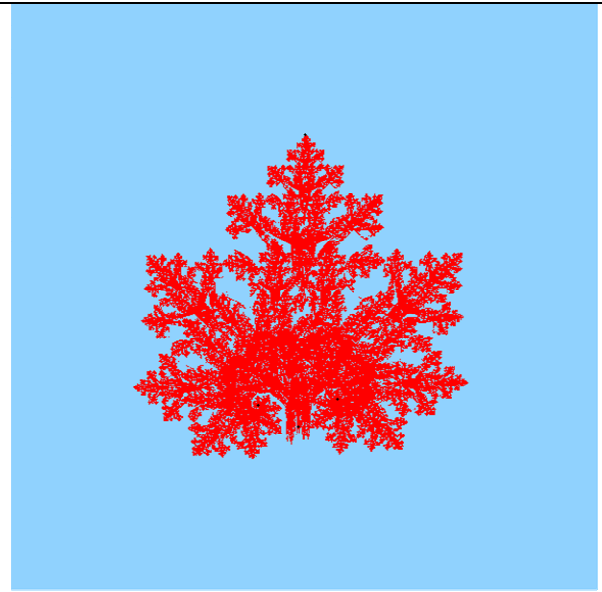
$\tau=2$



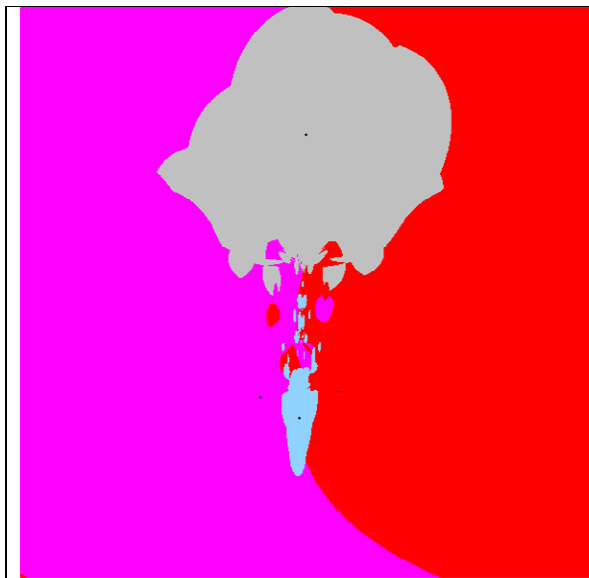
$\tau=2$



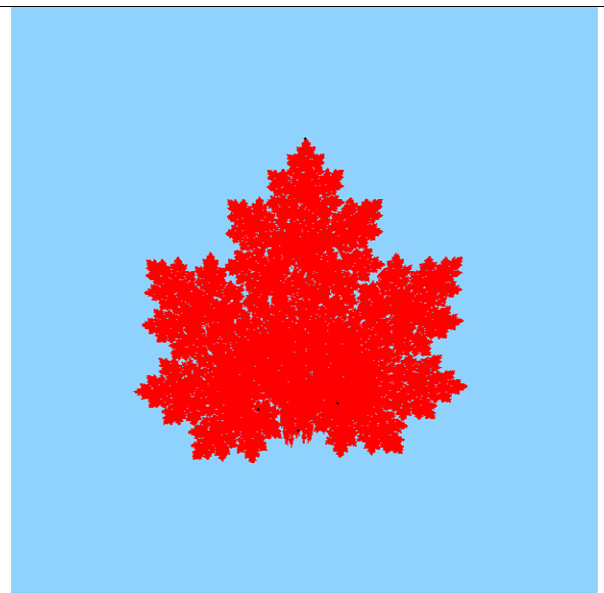
$\tau=3$



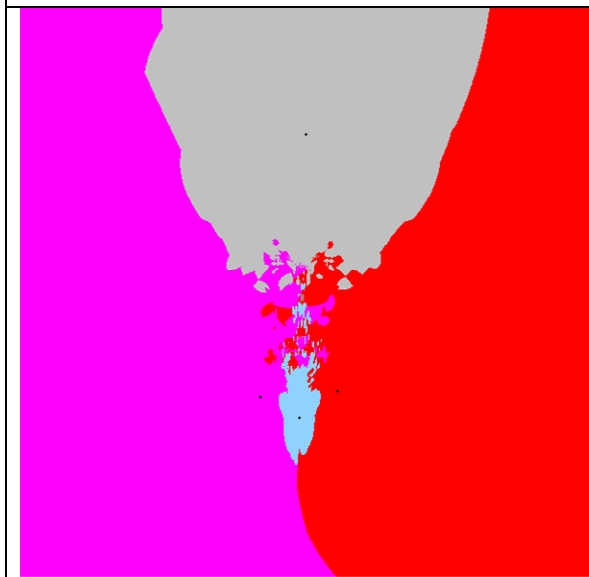
$\tau=3$



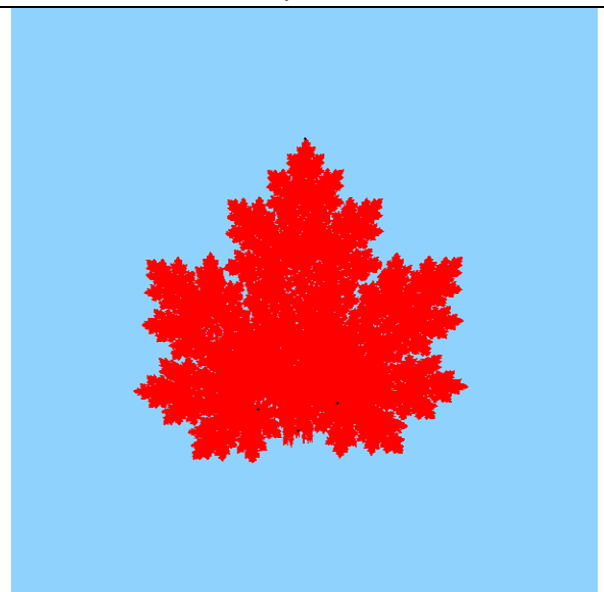
$\tau=4$



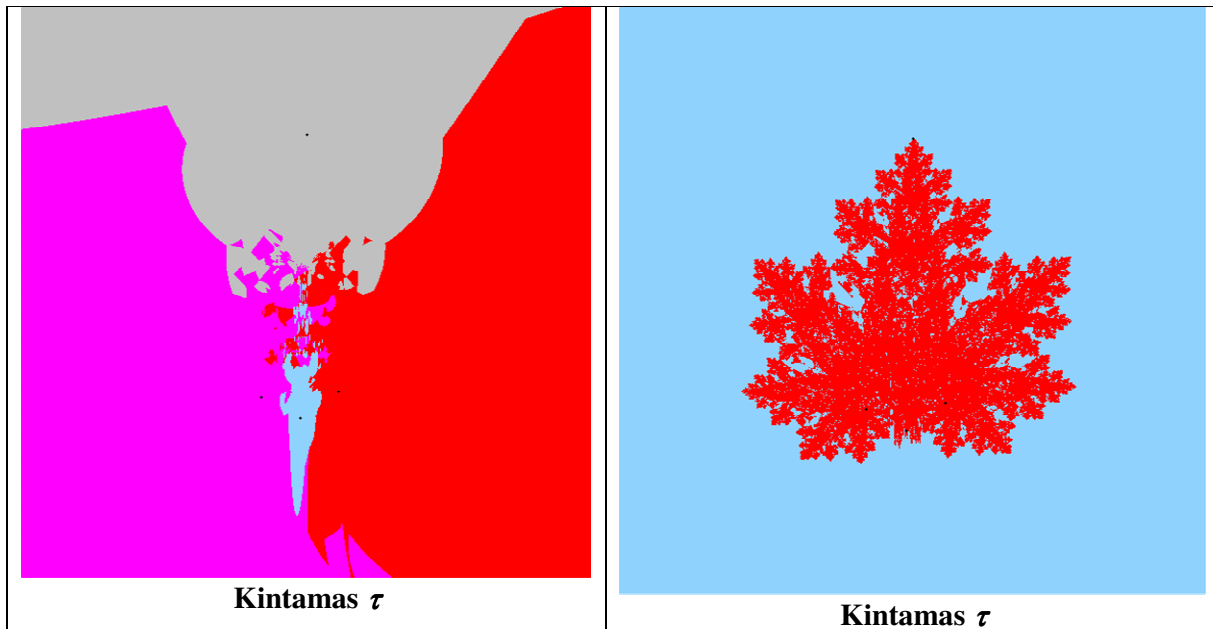
$\tau=4$



$\tau=5$



$\tau=5$



## Programos kodas

```

using System;
using System.Drawing;
using System.Collections;
using System.Collections.Generic;
using System.ComponentModel;
using System.Windows.Forms;
using System.IO;
using System.Globalization;

using Pc.Fract.Calculations;
using Pc.Fract.Core;

namespace Pc.Fract.Main
{
    /// <summary>
    /// Summary description for frmMain.
    /// </summary>
    public class frmMain : System.Windows.Forms.Form
    {
        private Calculate calculale = null;
        private frmNustatymai fn = new frmNustatymai();
        private System.Windows.Forms.Button button_LoadFromFile;
        private System.Windows.Forms.PictureBox pictureBox_outPut;
        private System.Windows.Forms.Button button_kombinacijos;
        private System.Windows.Forms.Button button_veikimozonos;
        private System.Windows.Forms.Button button_nustatymai;
        private System.Windows.Forms.OpenFileDialog openFileDialog;

        private Button button1;
        private Button button_save;
        private SaveFileDialog saveFileDialog;
        private MenuStrip menuStrip1;
        private ToolStripMenuItem toolStripMenuItem1;
        private ToolStripMenuItem uzkarutiIFSToolStripMenuItem;
        private ToolStripMenuItem išsaugotiToolStripMenuItem;
        private ToolStripMenuItem viewToolStripMenuItem;
        private ToolStripMenuItem veikimoZonosToolStripMenuItem;
        private ToolStripMenuItem fraktalasToolStripMenuItem;
        private System.ComponentModel.IContainer components = null;

        public frmMain()
        {
            InitializeComponent();
            calculale= new Calculate(pictureBox_outPut.Size);
        }

        [STAThread]
        public static void Main(String[] args)
        {
            Application.Run(new frmMain());
        }
    }
}

```

```

protected override void Dispose( bool disposing )
{
    if( disposing )
    {
        if(components != null)
        {
            components.Dispose();
        }
        base.Dispose( disposing );
    }

    #region Windows Form Designer generated code
    /// <summary>
    /// Required method for Designer support - do not modify
    /// the contents of this method with the code editor.
    /// </summary>
    private void InitializeComponent()
    {
        System.ComponentModel.ComponentResourceManager resources = new
System.ComponentModel.ComponentResourceManager(typeof(frmMain));
        this.button_LoadFromFile = new System.Windows.Forms.Button();
        this.pictureBox_outPut = new System.Windows.Forms.PictureBox();
        this.button_kombinacijos = new System.Windows.Forms.Button();
        this.button_veikimozonos = new System.Windows.Forms.Button();
        this.button_nustatymai = new System.Windows.Forms.Button();
        this.openFileDialog = new System.Windows.Forms.OpenFileDialog();
        this.button1 = new System.Windows.Forms.Button();
        this.button_save = new System.Windows.Forms.Button();
        this.saveFileDialog = new System.Windows.Forms.SaveFileDialog();
        this.menuStrip1 = new System.Windows.Forms.MenuStrip();
        this.toolStripMenuItem1 = new System.Windows.Forms.ToolStripMenuItem();
        this.uzkarutiIFSToolStripMenuItem = new System.Windows.Forms.ToolStripMenuItem();
        this.iissaugotiToolStripMenuItem = new System.Windows.Forms.ToolStripMenuItem();
        this.viewToolStripMenuItem = new System.Windows.Forms.ToolStripMenuItem();
        this.veikimoZonosToolStripMenuItem = new System.Windows.Forms.ToolStripMenuItem();
        this.fraktalasToolStripMenuItem = new System.Windows.Forms.ToolStripMenuItem();
        ((System.ComponentModel.ISupportInitialize)(this.pictureBox_outPut)).BeginInit();
        this.menuStrip1.SuspendLayout();
        this.SuspendLayout();
        //
        // button_LoadFromFile
        //
        this.button_LoadFromFile.Location = new System.Drawing.Point(608, 27);
        this.button_LoadFromFile.Name = "button_LoadFromFile";
        this.button_LoadFromFile.Size = new System.Drawing.Size(112, 24);
        this.button_LoadFromFile.TabIndex = 0;
        this.button_LoadFromFile.Text = "Uzkaruti is failo";
        this.button_LoadFromFile.Click += new System.EventHandler(this.button_LoadFromFile_Click);
        //
        // pictureBox_outPut
        //
        this.pictureBox_outPut.Image =
((System.Drawing.Image)resources.GetObject("pictureBox_outPut.Image"));
        this.pictureBox_outPut.Location = new System.Drawing.Point(2, 25);
        this.pictureBox_outPut.Name = "pictureBox_outPut";
        this.pictureBox_outPut.Size = new System.Drawing.Size(600, 600);
        this.pictureBox_outPut.SizeMode = System.Windows.Forms.PictureBoxSizeMode.StretchImage;
        this.pictureBox_outPut.TabIndex = 1;
        this.pictureBox_outPut.TabStop = false;
        //
        // button_kombinacijos
        //
        this.button_kombinacijos.Enabled = false;
        this.button_kombinacijos.Location = new System.Drawing.Point(608, 283);
        this.button_kombinacijos.Name = "button_kombinacijos";
        this.button_kombinacijos.Size = new System.Drawing.Size(112, 23);
        this.button_kombinacijos.TabIndex = 2;
        this.button_kombinacijos.Text = "Kombinacijos";
        this.button_kombinacijos.Visible = false;
        this.button_kombinacijos.Click += new System.EventHandler(this.button_kombinacijos_Click);
        //
        // button_veikimozonos
        //
        this.button_veikimozonos.Location = new System.Drawing.Point(608, 57);
        this.button_veikimozonos.Name = "button_veikimozonos";
        this.button_veikimozonos.Size = new System.Drawing.Size(112, 23);
        this.button_veikimozonos.TabIndex = 4;
        this.button_veikimozonos.Text = "Veikimo zonos";
        this.button_veikimozonos.Click += new System.EventHandler(this.button_veikimozonos_Click);
        //
        // button_nustatymai
        //
        this.button_nustatymai.Location = new System.Drawing.Point(608, 254);
        this.button_nustatymai.Name = "button_nustatymai";
        this.button_nustatymai.Size = new System.Drawing.Size(112, 23);
        this.button_nustatymai.TabIndex = 5;
        this.button_nustatymai.Text = "Nustatymai";
        this.button_nustatymai.Visible = false;
        this.button_nustatymai.Click += new System.EventHandler(this.button_nustatymai_Click);
        //
    }
}

```

```

// button1
//
this.button1.Location = new System.Drawing.Point(608, 86);
this.button1.Name = "button1";
this.button1.Size = new System.Drawing.Size(112, 23);
this.button1.TabIndex = 6;
this.button1.Text = "Fraktalas";
this.button1.Click += new System.EventHandler(this.button1_Click);
//
// button_save
//
this.button_save.Location = new System.Drawing.Point(608, 115);
this.button_save.Name = "button_save";
this.button_save.Size = new System.Drawing.Size(112, 23);
this.button_save.TabIndex = 7;
this.button_save.Text = "Issaugoti";
this.button_save.Click += new System.EventHandler(this.button_save_Click);
//
// menuStrip1
//
this.menuStrip1.Items.AddRange(new System.Windows.Forms.ToolStripItem[] {
this.toolStripMenuItem1,
this.viewToolStripMenuItem});
this.menuStrip1.Location = new System.Drawing.Point(0, 0);
this.menuStrip1.Name = "menuStrip1";
this.menuStrip1.Size = new System.Drawing.Size(728, 24);
this.menuStrip1.TabIndex = 8;
this.menuStrip1.Text = "menuStrip1";
//
// toolStripMenuItem1
//
this.toolStripMenuItem1.DropDownItems.AddRange(new System.Windows.Forms.ToolStripItem[] {
this.uzkarutiIFSToolStripMenuItem,
this.išsaugotiToolStripMenuItem});
this.toolStripMenuItem1.Name = "toolStripMenuItem1";
this.toolStripMenuItem1.Size = new System.Drawing.Size(35, 20);
this.toolStripMenuItem1.Text = "File";
//
// uzkarutiIFSToolStripMenuItem
//
this.uzkarutiIFSToolStripMenuItem.Name = "uzkarutiIFSToolStripMenuItem";
this.uzkarutiIFSToolStripMenuItem.Size = new System.Drawing.Size(152, 22);
this.uzkarutiIFSToolStripMenuItem.Text = "Užkaruti IFS";
this.uzkarutiIFSToolStripMenuItem.Click += new
System.EventHandler(this.uzkarutiIFSToolStripMenuItem_Click);
//
// išsaugotiToolStripMenuItem
//
this.išsaugotiToolStripMenuItem.Name = "išsaugotiToolStripMenuItem";
this.išsaugotiToolStripMenuItem.Size = new System.Drawing.Size(152, 22);
this.išsaugotiToolStripMenuItem.Text = "Išsaugoti";
this.išsaugotiToolStripMenuItem.Click += new
System.EventHandler(this.išsaugotiToolStripMenuItem_Click);
//
// viewToolStripMenuItem
//
this.viewToolStripMenuItem.DropDownItems.AddRange(new System.Windows.Forms.ToolStripItem[] {
this.veikimoZonosToolStripMenuItem,
this.fraktalasToolStripMenuItem});
this.viewToolStripMenuItem.Name = "viewToolStripMenuItem";
this.viewToolStripMenuItem.Size = new System.Drawing.Size(52, 20);
this.viewToolStripMenuItem.Text = "Viazdai";
//
// veikimoZonosToolStripMenuItem
//
this.veikimoZonosToolStripMenuItem.Name = "veikimoZonosToolStripMenuItem";
this.veikimoZonosToolStripMenuItem.Size = new System.Drawing.Size(152, 22);
this.veikimoZonosToolStripMenuItem.Text = "Veikimo zonos";
this.veikimoZonosToolStripMenuItem.Click += new
System.EventHandler(this.veikimoZonosToolStripMenuItem_Click);
//
// fraktalasToolStripMenuItem
//
this.fraktalasToolStripMenuItem.Name = "fraktalasToolStripMenuItem";
this.fraktalasToolStripMenuItem.Size = new System.Drawing.Size(152, 22);
this.fraktalasToolStripMenuItem.Text = "Fraktalas";
this.fraktalasToolStripMenuItem.Click += new
System.EventHandler(this.fraktalasToolStripMenuItem_Click);
//
// frmMain
//
this.AutoScaleBaseSize = new System.Drawing.Size(5, 13);
this.ClientSize = new System.Drawing.Size(728, 626);
this.Controls.Add(this.menuStrip1);
this.Controls.Add(this.button_save);
this.Controls.Add(this.button1);
this.Controls.Add(this.button_nustatymai);
this.Controls.Add(this.button_veikimozonos);
this.Controls.Add(this.button_kombinacijos);
this.Controls.Add(this.pictureBox_outPut);
this.Controls.Add(this.button_LoadFromFile);

```

```

this.MainMenuStrip = this.menuStrip1;
this.MaximumSize = new System.Drawing.Size(736, 660);
this.MinimumSize = new System.Drawing.Size(736, 660);
this.Name = "frmMain";
this.Text = "Fraktalas";
((System.ComponentModel.ISupportInitialize)(this.pictureBox_outPut)).EndInit();
this.menuStrip1.ResumeLayout(false);
this.menuStrip1.PerformLayout();
this.ResumeLayout(false);
this.PerformLayout();

}
#endregion

private void button_LoadFromFile_Click(object sender, System.EventArgs e)
{
    try
    {
        CultureInfo myCInt1 = new CultureInfo("en-US", false);
        System.Threading.Thread.CurrentThread.CurrentCulture = myCInt1;

        if (openFileDialog.ShowDialog() == DialogResult.OK)
        {
            string file =
openFileDialog.FileName;//@"D:\Documents and Settings\Paulius.DO-NOT-TOUCH-ME\My
Documents\pc_bakalaurinis\00pvz.txt";
            List<float[]> ar = new List<float[]>();

            System.IO.StreamReader(file);

            TextReader fr = new
            while(true)
            {
                string line = "";
                if((line =
fr.ReadLine())!=null)
                {
                    string[] lineSplit = line.Split(' ');
                    float[] d = new float[lineSplit.Length];

                    for(int i = 0; i<lineSplit.Length ;i++)
                    {
                        //System.In
                        d[i] = (float)Double.Parse(lineSplit[i]);
                    }

                    ar.Add(d);
                }
                else
                break;
            }
            fr.Close();

            calculatale.LoadIFS(ar);
        }
        catch( Exception ea)
        {
            ea.ToString();
        }
    }

private void button_kombinacijos_Click(object sender, System.EventArgs e)
{
    frmKombinacijos fk = new frmKombinacijos(calcutale.Count);
    if( fk.ShowDialog() == DialogResult.OK)
    {
        //calculatale.LoadKombinacijos(fk.Kombinacijos);
        button_veikimozonos.Enabled = true;
    }

private void button_veikimozonos_Click(object sender, System.EventArgs e)
{
    pictureBox_outPut.Image = calculatale.Piesti(Drow.VeikimoZonas);
}

private void button_nustatymai_Click(object sender, System.EventArgs e)
{
    //calculatale.Mastelis = fn.Mastelis;
    fn.IteracijuSkaicius = calculatale.IteracijuSkaicius;
    if(fn.ShowDialog() == DialogResult.OK)
    {
        //calculatale.Mastelis = fn.Mastelis;
        calculatale.IteracijuSkaicius= fn.IteracijuSkaicius;
    }
}

private void button1_Click(object sender, EventArgs e)

```

```

    {
        calculatale.LoadFraktalasNew();
        this.pictureBox_outPut.Image = calculatale.Piesti(Drow.Fraktala);
    }

private void button_save_Click(object sender, EventArgs e)
{
    try
    {
        if (saveFileDialog.ShowDialog() == DialogResult.OK)
        {
            Bitmap b = pictureBox_outPut.Image as Bitmap;
            b.Save(saveFileDialog.FileName);
        }
    }
    catch { }
}

private void uzkarutiIFSToolStripMenuItem_Click(object sender, EventArgs e)
{
    button_LoadFromFile_Click(null, null);
}

private void išsaugotiToolStripMenuItem_Click(object sender, EventArgs e)
{
    button_save_Click(null, null);
}

private void veikimoZonosToolStripMenuItem_Click(object sender, EventArgs e)
{
    pictureBox_outPut.Image = calculatale.Piesti(Drow.VeikimoZonas);
}

private void fraktalasToolStripMenuItem_Click(object sender, EventArgs e)
{
    calculatale.LoadFraktalasNew();
    this.pictureBox_outPut.Image = calculatale.Piesti(Drow.Fraktala);
}

}

}

using System;
using System.Drawing;
using System.Drawing.Imaging;
using System.Collections;
using System.Collections.Generic;

using Pc.Fract.Core;

namespace Pc.Fract.Calculations
{
    public class Calculate
    {
        private Figura cp = new CompositeFigura("pagrindine Grupe",0,0,0,0);
        private AbstractFabric fabrikas=null;
        private List<float[]> IFS = new List<float[]>();
        public static List<float[]> ATIFS = new List<float[]>();
        private List<float[]> nejudTaskai = new List<float[]>();
        private List<double> suspaudimoKoef = new List<double>();
        private List<double> zonuSvoriai = new List<double>();
        private Size size = new Size(0,0);
        private int mastelisBig = 10;
        private int mastelisSmal = 10;
        private int iteracijuSk = 27;
        private int[][] masyvasBig = null;
        private int[][] masyvasSmal = null;
        private int[][] fract = null;
        protected Bitmap picture = null;
        private zoneList _zList = null;
        public static double maxRange = 0;
        public Calculate(Size size)
        {
            this.size = size;
            picture = NewPicture();
            cp.Picture = picture;
            fabrikas=new KonkreteFabrikas(cp);
        }
        private Bitmap NewPicture()
        {
            Bitmap b =new Bitmap(size.Width,size.Height);
            BitmapData bd = b.LockBits(new Rectangle(0, 0, b.Width, b.Height), ImageLockMode.WriteOnly,
            b.PixelFormat);
            IntPtr ptr = bd.Scan0;

            int bytes = b.Width * b.Height * 4;
            byte[] rgbValues = new byte[bytes];
            System.Runtime.InteropServices.Marshal.Copy(ptr, rgbValues, 0, bytes);
        }
    }
}

```

```

for (int i = 0; i < rgbValues.Length; i += 1)
    rgbValues[i] = 0;

System.Runtime.InteropServices.Marshal.Copy(rgbValues, 0, ptr, bytes);

b.UnlockBits(bd);

/* for (int i = 0; i < size.Width; i++)
    for (int j = 0; j < size.Height; j++)
        b.SetPixel(i, j, Color.White);*/
        return b;
    }
    void skaiciuotiATIFS()
    {
        for(int i=0;i<IFS.Count;i++)
        {
            float[] lentele = new float[6];
            float a, b, c, d, e, f, detA;

            a= IFS[i][0];
            b= IFS[i][1];
            c= IFS[i][2];
            d= IFS[i][3];
            e= IFS[i][4];
            f= IFS[i][5];
            detA=a*d-b*c;
            lentele[0]=d/detA;
            lentele[1]=-b/detA;
            lentele[2]=-c/detA;
            lentele[3]=a/detA;
            lentele[4]=(f*b-e*d)/detA;
            lentele[5]=(e*c-f*a)/detA;
            ATIFS.Add(lentele);
        }
    }

    void nejudamiTaskai()
    {
float a, b, c, x, y, r;
        nejudTaskai.Clear();
zonuSvoriai.Clear();
foreach (float[] d in IFS)
{
    a = -d[3] * d[4] + d[5] * d[1] + d[4];
    b = -d[0] * d[5] + d[4] * d[2] + d[5];
    c = d[0] * d[3] - d[0] - d[2] * d[1] - d[3] + 1;
    x = a / c;
    y = b / c;
    float[] lentele = new float[2];
    lentele[0] = x;
    lentele[1] = y;
    nejudTaskai.Add(lentele);
    float susp = Math.Abs(d[0] * d[3] - d[1] * d[2]);
    suspaudimoKoeff.Add(susp);
    float xxx = (float)(2 / Math.Exp(susp - 0.5) - 1);
    if (xxx > 0.9)
        xxx = 0.9F;
    zonuSvoriai.Add(0);
    continue;
    if (susp < 0.05)
        zonuSvoriai.Add(-3.8);
    else if (susp < 0.1)
        zonuSvoriai.Add(-2.4);
    else if (susp < 0.15)
        zonuSvoriai.Add(-1.8);
    else if (susp < 0.2)
        zonuSvoriai.Add(-1.1);
    else if (susp < 0.3)
        zonuSvoriai.Add(-0.8);
    else if (susp < 0.4)
        zonuSvoriai.Add(-0.4);
    else if (susp < 0.6)
        zonuSvoriai.Add(0);
    else if (susp < 0.7)
        zonuSvoriai.Add(0.4);
    else if (susp < 0.8)
        zonuSvoriai.Add(0.6);
    else if (susp < 0.9)
        zonuSvoriai.Add(0.8);
    else if (susp < 1.1)
        zonuSvoriai.Add(0.9);
    //zonuSvoriai.Add(susp-0.5);
}
foreach (float[] d1 in nejudTaskai)
    foreach (float[] d2 in nejudTaskai)
    {
        r = (float)Math.Sqrt((d1[0]-d2[0])*(d1[0]-d2[0]) + (d1[1]-d2[1])*(d1[1]-d2[1]));
        if (r > maxRange)
            maxRange = r;
    }
}
//maxRange *= 2;

```



```

        //(int)((double[])(nejudTaskai[i]))[0]*mastelis)+size.Height/2,-
(int)((double[])(nejudTaskai[i]))[1]*mastelis)+size.Height/2
        mastelisBig = (int)(size.Width / (maxRange * 20));
        mastelisSmal = (int)(size.Width / (maxRange * 2));
        //mastelis = mastelisSmal;
        // maxRange.ToString();
    }

public void LoadIFS(List<float[]> ar)
    {
        mastelisBig = 10;
        mastelisSmal = 10;

        iteracijuSk = 25;

        maxRange = 0;
        IFS.Clear();
        ATIFS.Clear();
        nejudTaskai.Clear();
        if (_zList != null)
            _zList.Clear();

        IFS = ar;
        nejudamiTaskai();
        cp.GrazVek.Clear();
        ATIFS.Clear();
        skaiciuotiATIFS();

        _zList = new zoneList(9);

        veikimoZonosNew();
    }

    public Bitmap Piesti(Drow action)
    {
        cp.GrazVek.Clear();
        cp.Picture = NewPicture();
        switch(action)
        {
            case Drow.NejudamusTaskus:
                PiestiNejudamusTaskus();
                break;
            case Drow.VeikimoZonas:
                PiestiVeikimoZonas();
                PiestiNejudamusTaskus();
                break;
            case Drow.Fraktala:
                PiestiFraktala();
                PiestiNejudamusTaskus();
                break;
        }
        cp.pesti(null);
        return cp.Picture;
    }

    private void PiestiNejudamusTaskus()
    {
        for(int i=0;i<nejudTaskai.Count;i++)
        {
            fabrikas.taskas("s", (int)((float[])(nejudTaskai[i]))[0] * mastelisSmal) + size.Height / 2, -
(int)((float[])(nejudTaskai[i]))[1] * mastelisSmal) + size.Height / 2, 0, 0);
        }
    }

    private void PiestiVeikimoZonas()
    {
        fabrikas.funkcija(size.Width,size.Height,masyvasSmal);
    }

    private void PiestiFraktala()
    {
        fabrikas.funkcija(size.Width,size.Height,fract);
    }

    public int Count
    {
        get {return IFS.Count;}
    }

    public int IteracijuSkaicius
    {
        get{return iteracijuSk;}
        set{iteracijuSk = value;}
    }

    /*public int Mastelis
    {
        get{return mastelisSmal;}
    }

    set { mastelisSmal = value; }
    */

    private void veikimoZonosNew()
    {
        int si = size.Width;
        masyvasBig = new int[si+1][];

        for(int ii = 0; ii < si+1;ii++)
            masyvasBig[ii] = new int[si+1];

        for(int xp=1;xp<si;xp++)

```

```

                                for(int yp=1;yp<si;yp++)
                                {
masyvasBig[xp][yp] = _zList.GetZones[8].nustatytiZona(xp, yp, si, mastelisBig);
if (masyvasBig[xp][yp] == -1)
{
    masyvasBig[xp][yp] = _zList.GetZones[2].nustatytiZona(xp, yp, si, mastelisBig);
    if (masyvasBig[xp][yp] == -1)
    {
        masyvasBig[xp][yp] = _zList.GetZones[4].nustatytiZona(xp, yp, si, mastelisBig);
    }
}
}
}
TDebug.Reg("Test", "x1");

masyvasSmal = new int[si + 1][];

for (int ii = 0; ii < si + 1; ii++)
masyvasSmal[ii] = new int[si + 1];
for (int xp = 1; xp < si; xp++)
for (int yp = 1; yp < si; yp++)
{
    masyvasSmal[xp][yp] = _zList.GetZones[8].nustatytiZona(xp, yp, si, mastelisSmal);
    if (masyvasSmal[xp][yp] == -1)
    {
        masyvasSmal[xp][yp] = _zList.GetZones[2].nustatytiZona(xp, yp, si, mastelisSmal);
        if (masyvasSmal[xp][yp] == -1)
        {
            masyvasSmal[xp][yp] = _zList.GetZones[4].nustatytiZona(xp, yp, si, mastelisSmal);
        }
    }
}
TDebug.Reg("Test", "x2");
TDebug.Show("Test");
masyvasSmal[0] = masyvasSmal[0];
}

public void LoadFraktalasNew()
{
    fraktalasNew();
}

void fraktalasNew()
{
    fract = new int[size.Width + 1][];
    for (int ii = 0; ii < size.Width + 1; ii++)
        fract[ii] = new int[size.Height + 1];
    for (int xp = 1; xp < size.Width; xp++)
        for (int yp = 1; yp < size.Height; yp++)
        {
            double isk = iteracijuSk;
            double x = ((double)(xp - size.Width / 2)) / mastelisSmal;
            double y = -((double)(yp - size.Height / 2)) / mastelisSmal;
            double[] lentele = new double[5];
            lentele[0] = x;
            lentele[1] = y;
            lentele[3] = 0;
            double xx = x, yy = y;
            for (int i = 0; i < isk; i++)
            {
                double x1, y1, min;
                int aa = (int)(xx * mastelisSmal + size.Width / 2);
                int bb = (int)(-yy * mastelisSmal + size.Width / 2);
                if (aa <= 0 || aa >= 600 || bb <= 0 || bb >= 600)
                {
                    fract[xp][yp] = fractX(i, xx, yy, x, y, isk);
                    break;
                }
                if (zonuSvoriai[masyvasSmal[aa][bb]] < -10)
                {
                    fract[xp][yp] = 1;
                    break;
                }
                isk += zonuSvoriai[masyvasSmal[aa][bb]];
                //if (i > 6 && bb == 300 && aa == 598)
                //    isk = isk;
                x1 = ATIFS[masyvasSmal[aa][bb]][0] * xx + ATIFS[masyvasSmal[aa][bb]][1] * yy +
                ATIFS[masyvasSmal[aa][bb]][4];
                y1 = ATIFS[masyvasSmal[aa][bb]][2] * xx + ATIFS[masyvasSmal[aa][bb]][3] * yy +
                ATIFS[masyvasSmal[aa][bb]][5];
                min = (x - x1) * (x - x1) + (y - y1) * (y - y1);
                xx = x1;
                yy = y1;
                fract[xp][yp] = 1;
            }
        }
}

private int fractX(int j, double xx, double yy, double x, double y, double isk)

```

```

    {
        for (int i = j; i < isk; i++)
        {
            double x1, y1, min;
            int aa = (int)(xx * mastelisBig + size.Width / 2);
            int bb = (int)(-yy * mastelisBig + size.Width / 2);
            if (aa < 0 || aa > 600 || bb < 0 || bb > 600)
            {
                return 0;
            }
            isk += zonuSvoriai[masyvasBig[aa][bb]];
            x1 = ATIFS[masyvasBig[aa][bb]][0] * xx + ATIFS[masyvasBig[aa][bb]][1] * yy +
            ATIFS[masyvasBig[aa][bb]][4];
            y1 = ATIFS[masyvasBig[aa][bb]][2] * xx + ATIFS[masyvasBig[aa][bb]][3] * yy +
            ATIFS[masyvasBig[aa][bb]][5];
            min = (x - x1) * (x - x1) + (y - y1) * (y - y1);
            xx = x1;
            yy = y1;
        }
        return 1;
    }
}

using System;
using System.Collections.Generic;
using System.Collections;
using System.Text;

namespace Pc.Fract.Calculations
{
    class zone
    {
        private List<float[]> afiniosTr = new List<float[]>();
        private List<string> kombinacijos = new List<string>();
        private List<float[]> ATIFS = Calculate.ATIFS;
        private double maxRange = 0;
        private int cc = 0;
        private int help1 = 1;

        public zone(int i)
        {
            maxRange = Calculate.maxRange * 10; // *Calculate.maxRange * 3;
            generuotiKombinacijas(0, ATIFS.Count, i, "");
            skaiciuotiAfiniasasTransformacijas();
            help1 = afiniosTr.Count / ATIFS.Count;
            cc = i;
        }

        private void generuotiKombinacijas(int iteracija, int N, int M, String s)
        {
            if (iteracija < M)
                for (int i = 0; i < N; i++)
                    generuotiKombinacijas(iteracija + 1, N, M, s + Convert.ToString(i + 1));
            else
                kombinacijos.Add(s);
        }

        private void skaiciuotiAfiniasasTransformacijas()
        {
            int i = kombinacijos[0].ToString().Length - 1;
            for (int j = 0; j < kombinacijos.Count; j++)
            {
                char[] eil = kombinacijos[j].ToString().ToCharArray();
                int g = (int)Char.GetNumericValue(eil[0]) - 1;
                float a = ((float[]) (ATIFS[g])) [0],
                b = ((float[]) (ATIFS[g])) [1],
                c = ((float[]) (ATIFS[g])) [2],
                d = ((float[]) (ATIFS[g])) [3],
                e = ((float[]) (ATIFS[g])) [4],
                f = ((float[]) (ATIFS[g])) [5];
                for (int k = 0; k < i; k++)
                {
                    g = (int)Char.GetNumericValue(eil[k + 1]) - 1;
                    float aa, bb, cc, dd, ee, ff;
                    aa = a * ((float[]) (ATIFS[g])) [0] + c * ((float[]) (ATIFS[g])) [1];
                    bb = b * ((float[]) (ATIFS[g])) [0] + d * ((float[]) (ATIFS[g])) [1];
                    cc = a * ((float[]) (ATIFS[g])) [2] + c * ((float[]) (ATIFS[g])) [3];
                    dd = b * ((float[]) (ATIFS[g])) [2] + d * ((float[]) (ATIFS[g])) [3];
                    ee = e * ((float[]) (ATIFS[g])) [0] + f * ((float[]) (ATIFS[g])) [1]
                    + ((float[]) (ATIFS[g])) [4];
                    ff = e * ((float[]) (ATIFS[g])) [2] + f * ((float[]) (ATIFS[g])) [3]
                    + ((float[]) (ATIFS[g])) [5];
                    a = aa;
                    b = bb;
                    c = cc;
                    d = dd;
                    e = ee;
                    f = ff;
                }
                float[] lentele = new float[6];
            }
        }
    }
}

```

```

        lentele[0] = a;
        lentele[1] = b;
        lentele[2] = c;
        lentele[3] = d;
        lentele[4] = e;
        lentele[5] = f;
        afiniosTr.Add(lentele);
    }
}

public int nustatytiZona(int xp, int yp, int lenght, int mastelis)
{
    int rez = 0;
    float[] minimums = new float[ATIFS.Count];
    float x = ((float)(xp - lenght / 2)) / mastelis;
    float y = -((float)(yp - lenght / 2)) / mastelis;
    float x1 = afiniosTr[0][0] * x + afiniosTr[0][1] * y + afiniosTr[0][4];
    float y1 = afiniosTr[0][2] * x + afiniosTr[0][3] * y + afiniosTr[0][5];
    float min = (x - x1) * (x - x1) + (y - y1) * (y - y1);
    minimums[0] = min;
    for (int i = 1; i < kombinacijos.Count; i++)
    {
        x1 = afiniosTr[i][0] * x + afiniosTr[i][1] * y + afiniosTr[i][4];
        y1 = afiniosTr[i][2] * x + afiniosTr[i][3] * y + afiniosTr[i][5];
        float a = ((x - x1) * (x - x1) + (y - y1) * (y - y1));
        if (a < minimums[i / afiniosTr.Count] || minimums[i / help1] == 0.0)
            minimums[i / help1] = a;
        if (a < min)
        {
            min = a;
            rez = i / (afiniosTr.Count / ATIFS.Count);
        }
    }
    if (cc == 9)
        return rez;
    else
    {
        float m1 = minimums[0];
        float m2 = minimums[1];
        for(int ii = 2; ii < minimums.Length; ii++)
            if(minimums[ii] < m1)
                m1 = minimums[ii];
            else if(minimums[ii] < m2)
                m2 = minimums[ii];
        if (Math.Abs(m1 - m2) < maxRange)
        {
            return -1;
        }
    }
    return rez;
}
}
}

using System;
using System.Collections.Generic;
using System.Text;

namespace Pc.Fract.Calculations
{
    class zoneList
    {
        private List<zone> _zoneList;

        public zoneList(int Count)
        {
            _zoneList = new List<zone>();
            for (int i = 0; i < Count; i++)
            {
                _zoneList.Add(new zone(i+1));
            }
        }

        public List<zone> GetZones
        {
            get
            {
                return _zoneList;
            }
        }

        public void Clear()
        {
            _zoneList.Clear();
        }
    }
}

using System;
using System.Drawing;

```

```

using System.Drawing.Imaging;

namespace Pc.Fract.Core
{
public class Funkcija : Figura
{
    int[][] x;
    int i,j;
    public Funkcija(int il,int jl, int[][] x1) :base("s",1,1,0,0)
    {
        i=il;
        j=jl;
        x=x1;
    }
    public override void setXY(int x1,int y1,int l1,int h1)
    {
    }

    public override void piesti(Bitmap p)
    {
        //g.drawImage()
        // g.fillRect();
        try
        {
            BitmapData bd = p.LockBits(new Rectangle(0, 0, p.Width, p.Height), ImageLockMode.WriteOnly,
p.PixelFormat);
            IntPtr ptr = bd.Scan0;

            int bytes = p.Width * p.Height * 4;
            byte[] rgbValues = new byte[bytes];
            System.Runtime.InteropServices.Marshal.Copy(ptr, rgbValues, 0, bytes);

            for (int xp = 1; xp < i; xp++)
                for (int yp = 1; yp < j; yp++)
                    {
                        if (x[xp][yp] == 0)
                            {
                                rgbValues[(xp - 1) * 4 + (yp - 1) * 4 * 600] = 255;
                                rgbValues[(xp - 1) * 4 + (yp - 1) * 4 * 600 + 1] = 206;
                                rgbValues[(xp - 1) * 4 + (yp - 1) * 4 * 600 + 2] = 135;
                                rgbValues[(xp - 1) * 4 + (yp - 1) * 4 * 600 + 3] = 235;
                            }
                        //p.SetPixel(xp,yp,Color.Red);
                        else if (x[xp][yp] == 1)
                            {
                                rgbValues[(xp - 1) * 4 + (yp - 1) * 4 * 600] = 0;
                                rgbValues[(xp - 1) * 4 + (yp - 1) * 4 * 600 + 1] = 0;
                                rgbValues[(xp - 1) * 4 + (yp - 1) * 4 * 600 + 2] = 255;
                                rgbValues[(xp - 1) * 4 + (yp - 1) * 4 * 600 + 3] = 255;
                            }
                        else if (x[xp][yp] == 2)
                            {
                                rgbValues[(xp - 1) * 4 + (yp - 1) * 4 * 600] = 255;
                                rgbValues[(xp - 1) * 4 + (yp - 1) * 4 * 600 + 1] = 0;
                                rgbValues[(xp - 1) * 4 + (yp - 1) * 4 * 600 + 2] = 255;
                                rgbValues[(xp - 1) * 4 + (yp - 1) * 4 * 600 + 3] = 255;
                            }
                        else if (x[xp][yp] == 3)
                            {
                                rgbValues[(xp - 1) * 4 + (yp - 1) * 4 * 600] = 192;
                                rgbValues[(xp - 1) * 4 + (yp - 1) * 4 * 600 + 1] = 192;
                                rgbValues[(xp - 1) * 4 + (yp - 1) * 4 * 600 + 2] = 192;
                                rgbValues[(xp - 1) * 4 + (yp - 1) * 4 * 600 + 3] = 255;
                            }
                        //p.SetPixel(xp,yp,Color.Blue);
                        //else
                        //    p.SetPixel(xp, yp, Color.Yellow);
                    }
                System.Runtime.InteropServices.Marshal.Copy(rgbValues, 0, ptr, bytes);

            p.UnlockBits(bd);
        }
        catch (Exception e)
        {
            e.ToString();
        }
    }
}
}
}

```